

Научная статья
УДК 550.93
doi: 10.17223/25421379/25/3

ГЕОХРОНОЛОГИЯ ЩЕЛОЧНО-УЛЬТРАОСНОВНОГО КАРБОНАТИТОВОГО КОМПЛЕКСА АРБАРАСТАХ (АЛДАНСКИЙ щит, ЯКУТИЯ): НОВЫЕ AR-AR И U-PB ДАННЫЕ



Илья Романович Прокопьев¹, Анна Геннадьевна Дорошкевич²,
Антон Викторович Пономарчук³, Михаил Николаевич Крук⁴, Иван Александрович Избродин⁵,
Николай Васильевич Владыкин⁶

^{1, 2, 3, 4, 5} Институт геологии и минералогии им. В.С. Соболева СО РАН, Новосибирск, Россия

¹ Новосибирский государственный университет, Новосибирск, Россия

² Геологический институт им. Н.Л. Добретсова СО РАН, Улан-Удэ, Россия

⁶ Институт геохимии им. А.П. Виноградова СО РАН, Иркутск, Россия

¹ prokopev_ilya@mail.ru

² doroshkevich@igm.nsc.ru

⁵ aponomar@igm.nsc.ru

⁴ krukmn@igm.nsc.ru

⁵ izbrodin@ginst.ru

Аннотация. Приведена новая геохронологическая информация о тектономагматических событиях на рубеже ~ 655–640 млн лет на юге Сибирского кратона. Ar/Ar методом получены характеристики карбонатитов – 651 ± 6 и $657,8 \pm 6,5$ млн лет, силикокарбонатита – $642,6 \pm 6,6$ млн лет, пироксенита – $632,5 \pm 6$ млн лет, и щелочного сиенита – $645,9 \pm 6,4$ млн лет щелочно-карбонатитового комплекса Арбарастиах. Данные U-Pb датирования показали время кристаллизации пироксенитов – $638,2 \pm 3,1$ млн лет, карбонатитов – $650,3 \pm 9,8$ млн лет, и щелочного сиенита – $641,7 \pm 5,6$ млн лет.

Ключевые слова: геохронология, Сибирский кратон, LIP, суперконтинент, Родина

Источник финансирования: геология региона изучена в рамках НИР ИГМ СО РАН (FWZN-2022-0024) и ГИН СО РАН (AAAAA21-121011390002-2). Петрографические и геохронологические исследования выполнены при поддержке Российского научного фонда (проект № 19-17-00019).

Для цитирования: Прокопьев И.Р., Дорошкевич А.Г., Пономарчук А.В., Крук М.Н., Избродин И.А., Владыкин Н.В. Геохронология щелочно-ультраосновного карбонатитового комплекса Арбарастиах (Алданский щит, Якутия): новые Ar-Ar и U-Pb данные // Геосферные исследования. 2022. № 4. С. 48–66. doi: 10.17223/25421379/25/3

Original article
doi: 10.17223/25421379/25/3

GEOCHRONOLOGY OF THE ALKALINE-ULTRA-BASIC CARBONATITE COMPLEX ARBARASTAKH (ALDAN SHIELD, YAKUTIA): NEW AR-AR AND U-PB DATA

Ilya R. Prokopyev¹, Anna G. Doroshkevich², Anton V. Ponomarchuk³,
Mikhail Ni. Kruk⁴, Ivan A. Izbrodin⁵, Nikolai V. Vladykin⁶

^{1, 2, 3, 4, 5} V.S. Sobolev Institute of Geology and Mineralogy SB RAS, Novosibirsk, Russia

¹ Departament of Geology and Geophysics, Novosibirsk State University, Novosibirsk, Russia

² N.L. Dobretssov Geological Institute SB RAS, Ulan-Ude, Russia

⁶ A.P. Vinogradov Institute of Geochemistry SB RAS, Irkutsk, Russia

¹ prokopev_ilya@mail.ru

² doroshkevich@igm.nsc.ru

³ aponomar@igm.nsc.ru

⁴ krukmn@igm.nsc.ru

⁵ izbrodin@ginst.ru

Abstract. This paper is devoted to a new geochronological data for the main rocks that make up the Arbarastakh alkaline ultramafic carbonatite complex, and includes information on the mineralogical and petrographic features of these rocks. The Ar-

barastakh complex is located in the Republic of Sakha (Yakutia) in the southeast of Russia, within the basin of the Arbarastakh River, in the Lena River basin. Tectonically, the complex is located in the eastern part of the Aldan shield on the southeastern margin of the Siberian craton. The main structural feature of the Arbarastakh complex is its concentric-zonal structure, expressed in the regular alternation of rocks with different compositions and different occurrence conditions. The main phase of the complex composes a stock-like body of alkaline pyroxenites, which has a rounded-ellipsoid shape in plan view. Between the body of pyroxene rocks and the ring fault there is a continuous zone of fenites – contact-metasomatic rocks. Dikes of alkaline syenites, ijolite-urtites and melteigites, are found in the area of the alkaline complex. Dikes of alkaline syenites are localized in the endo-contact zone of the complex. The carbonatites of the Arbarastakh complex are concentrated within the core of pyroxene rocks and occur as a series of incompletely conical dike-like bodies. The most common are calcite varieties of carbonatites with pyrochlore and phlogopite, as well as silicocarbonatites. Veins of dolomitic and ankeritic carbonatites occur much less frequently in pyroxenites.

Geochronological studies of alkaline rocks of the Arbarastakh alkaline-ultramafic carbonatite complex reflect a rather long history of the formation of the complex and characterize the multi-stage intrusion of rocks. The results of Ar-Ar dating showed the time of crystallization of the main phase of the complex – pyroxenites – 632.5 ± 6 Ma; alkaline syenites – 645.9 ± 6.4 Ma. The emplacement time of silicocarbonatites is 642.6 ± 6.6 Ma; the formation of carbonatites occurred in the ranges of 651 ± 6 and 657.8 ± 6.5 Ma. U-Pb dating of pyroxenites showed an age of 638.2 ± 3.1 Ma; time of intrusion of carbonatites is 650.3 ± 9.8 Ma; and the crystallization age of alkaline syenite is 641.7 ± 5.6 Ma. Thus, a certain age range of formation of rocks of the Arbarastakh complex is ~ 657 – 636 Ma, which is within the range of values for other alkaline carbonatite complexes, which structurally gravitate towards the marginal parts of the Siberian Craton and are characterized by similar types of rare-metal deposits.

Keywords: geochronology, Siberian Craton, LIP, supercontinent, Rodinia

Source of financing: the geology of the region was calculated within the framework of the Research Institute of Geology and Mineralogy SB RAS (FWZN-2022-0024) and GIN SB RAS (AAAAA21-121011390002-2). Petrographic and geochronological studies were carried out with the support of the Russian Science Foundation (Project No. 19-17-00019).

For citation: Prokopyev I.R., Doroshkevich A.G., Ponomarchuk A.V., Kruk M.N., Izbrodin I.A., Vladynkin N.V. (2022) Geochronology of the alkaline-ultra-basic carbonatite complex Arbarastakh (Aldan shiled, Yakutia): new Ar-Ar and U-Pb data. *Geosfernye issledovaniya – Geosphere Research*. 4. pp. 48–66. (In Russian). doi: 10.17223/25421379/25/3

Введение

Щелочно-ультраосновные карбонатитовые комплексы являются уникальной группой магматических пород, которые несут в себе информацию о процессах глубинного (до 200–250 км) магмообразования специфичных по составу силикатно-карбонатных расплавов, а также о процессах метасоматоза и углеродного цикла в мантии [Rock, 1986; Le Bas., 1987; Dalton, 1993; Hamilton, Kjasgaard, 1993; Kogarko, 1995; Mitchell, 2005, 2006; Tappe et al., 2006; Guzmics, Zajacz, 2013]. Процесс формирования неопротерозойских рудоносных (Nb, Ta, U и REE) концентрически-зональных щелочно-карбонатитовых комплексов в пределах южной окраины Сибирского кратона (Белая Зима, Тагна, Жидой, Игнили, Арбарастих) в период 720–630 млн лет связывают с эпохой проявления крупномасштабного внутриплитного магматизма и геодинамическими событиями распада суперконтинента Родиния [Ярмолюк и др., 2005; Кузьмин, Ярмолюк, 2014].

Предшествующие петрологические исследования щелочных пород комплекса Арбарастих показали, что основные фазы массива представлены пироксенитами, секущими их телами карбонатитов, магнетит-апатитовых пород (фоскоритов) и ийолитами, а также по периферии массива отмечаются выходы отдельных тел более поздних щелочных сиенитов [Глаголев и др., 1974]. Первые данные по

абсолютному возрасту пород массива показали интервал кристаллизации пироксенитов и карбонатитов – 690 ± 28 млн лет, фоскоритов – 720 ± 28 млн лет (К-Аг, флогопит, [Глаголев, 1974]). При таких оценках возраста щелочных пород Арбарастихского комплекса (720–690 млн лет), временной интервал становления массива коррелирует со временем формирования Иркутской крупной изверженной провинции (LIP) с возрастом ~ 720 млн л., которая реконструирована с одновозрастной Франклинской LIP северной Лаврентии [Ernst et al., 2018]. И это согласуется с более общим наблюдением тесной временной корреляции между образованием карбонатитов и проявлением крупных изверженных провинций [Ernst, Bell, 2010].

Современные датировки цирконов из пироксенита U-Pb методом (SHRIMP-II) показали возраст – 630.5 ± 5.7 млн лет (отчет № 25011, ВСЕГЕИ, 2015). Согласно докладу на конференции EGU-2020 Н.В. Владыкиным (ИГХ СО РАН, г. Иркутск) U-Pb возраст пород по цирконам и бадделеиту из фоскоритов и пироксенитов составляет 656 ± 5 и 653 ± 9 млн лет соответственно. Представленные в этой работе новые геохронологические данные определения возраста кристаллизации щелочных пород массива Арбарастих согласуются с предшествующими датировками, а также существенно дополняют и уточняют возраст образования различных щелочных фаз внедрения исследуемого комплекса.

Геологическое строение

Щелочно-ультраосновной карбонатитовый комплекс Арбаастах расположен на территории Республики Саха (Якутия) на юго-востоке России, в пределах бассейна реки Арбаастах – левого притока реки Идюм, в бассейне реки Лена (рис. 1). В тектоническом плане комплекс расположен в восточной части Алданского щита на юго-восточной окраине Сибирского кратона. Фундамент щита образован комплексом метаморфических архейских пород и постепенно перекрывается чехлом горизонтально залегающих осадочных пород нижнекембрийско-верхнепротерозойского возраста (рис. 1). Арбаастахский массив приурочен к краевой части Идюмо-Хайканского сводового поднятия [Зленко, 1961]. В ядре поднятия обнажаются породы фундамента, крылья перекрываются осадочным чехлом [Глаголев и др., 1974].

Архейская толща фундамента состоит из биотитовых, диопсидовых, гиперстеновых и роговообманковых кристаллических сланцев, гнейсов, амфиболитов, гранатовых и графитовых гнейсов, мраморов и кальцифиров (тимптоно-джелтулинская серия учурского гранулит-парагнейсового террейна) [Парфенов, Кузьмин, 2001]. В пределах массива Арбаастах широко распространены архейские биотит-амфиболовые гнейсо-граниты (обособленные массивы), аляскитовые граниты (мигматиты и межпластиевые тела), залегающие в пределах синклиниорной зоны шириной около 20–22 км с общим северо-восточным простирианием [Глаголев и др., 1974]. Внутри зоны породы смяты в серию узких изоклинальных складок, падающих в северо-восточном направлении под крутым углом. Ближе к массиву архейские породы меняют простириание – раздвигаются с двух сторон, огибая массив. Данная структура образовалась в архейское время и, скорее всего, предопределила появление массива именно в этом месте. Комплекс осадочных пород чехла представлен протерозойскими аркозовыми, доломитовыми и кварцевыми песчаниками с редкими горизонтами конгломератов и доломитов [Глаголев и др., 1974].

Сеть разно ориентированных разломов вблизи массива Арбаастах, пересекающих породы фундамента и чехла, разделяет территорию на отдельные блоки [Глаголев и др., 1974]. Выделяются две главные системы кругопадающих разломов. Первая заложена в архее и имеет направление, близкое к простирианию архейской складчатости. Вторая связана с возникновением Идюмо-Хайканского поднятия и ориентирована почти под прямым углом к нарушениям первой системы [Глаголев и др., 1974]. Важным обстоятельством является то, что разломы проникают в

верхний структурный ярус лишь частично, пересекая только протерозойские породы. Это дает возможность предположить, что движение блоков вдоль этих разломов происходило синхронно с формированием Арбаастахской интрузии. Активность разломов подтверждается приуроченностью к ним даек щелочных пород [Глаголев и др., 1974]. Сам массив отделен от вмещающей толщи архейских метаморфических пород сплошным кольцевым разломом, диаметр которого составляет 6–8 км (рис. 1). Внутри него произошло кальдерное опускание пород на глубину 50–80 м [Глаголев и др., 1974]. Углы падения разломов изменяются от 60 до 90° и направлены к центру интрузии.

Главной структурной чертой массива Арбаастах является его концентрически-зональное строение, выраженное в закономерном чередовании пород с разным составом и разными условиями залегания (рис. 1). Основная фаза массива слагает штокообразное тело пироксеновых пород – пироксениты, имеющее в плане округло-эллипсоидное очертание, вытянутое в северо-западном направлении. Тело пироксенитов имеет грубоконцентрическое строение и сложено чисто пироксеновыми, пироксен-слюдистыми, пироксен-роговообманковыми разновидностями [Глаголев и др., 1974]. Между телом пироксеновых пород и кольцевым разломом заключена сплошная зона kontaktово-метасоматических пород – фенитов. Мощность зоны составляет до 1 км.

На площади массива установлены дайки жильных щелочных сиенитов, а также ийолит-уртитов и мельтейгитов, мощность которых меняется от нескольких сантиметров до 50 метров при протяженности до 1 км [Глаголев и др., 1974]. Дайки щелочных сиенитов локализованы в эндоконтактовой зоне массива. Простириание даек подчинено общей кольцевой структуре массива, а падение составляет 70–90°. Контакты с пироксенитами и фенитами – секущие [Глаголев и др., 1974]. Во время полевых работ 2019 г. в пределах массива зафиксировано несколько даек ультраосновных щелочных лампрофиров в центральной части массива мощностью первые метры. Дайковые тела имеют секущие контакты с карбонатитами и, согласно классификации Таррэ и соавт. [2005], могут быть отнесены к ультраосновным щелочным лампрофирам – айликитам.

Карбонатиты массива Арбаастах сосредоточены внутри ядра пироксеновых пород и залегают в виде серии неполноконических дайкообразных тел (рис. 1). Мощность отдельных тел карбонатитов изменяется от 10–20 см до 400–600 м, контакты с пироксеновыми породами – секущие. Углы падения независимо от близости к центру массива составляют 60–80° к центру массива [Глаголев, 1974]. Наиболее распространены

нены кальцитовые разности карбонатитов с пирохлором и флогопитом. Значительно реже в пироксенитах встречаются жилы (до первых метров) доломитовых и анкеритовых карбонатитов.

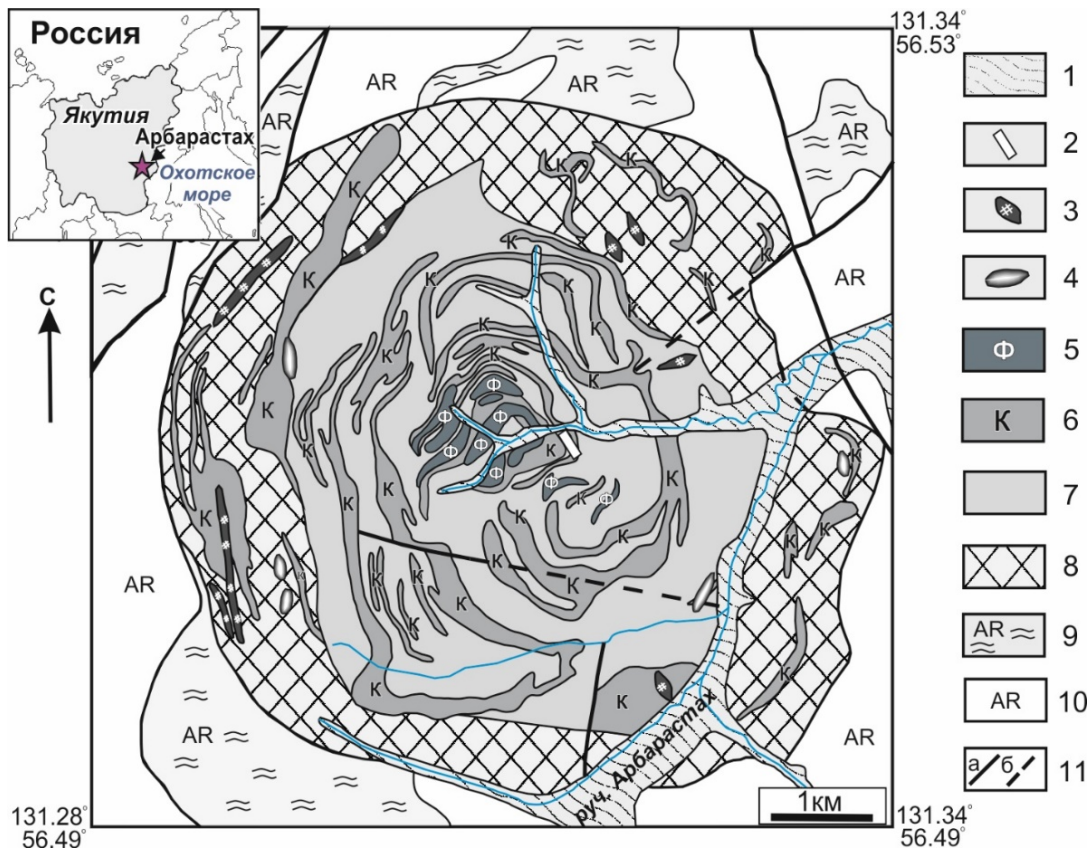


Рис 1. Схема расположения и схематическая геологическая карта щелочно-ультраосновного карбонатитового комплекса Арбаастах (по данным [Глаголов и др., 1974; Горошко, Гурьянов, 2004] с дополнениями авторов)

1 – аллювиальные отложения (галька, гравий, пески, суглинки); 2–7 – породы комплекса Арбаастах: 2 – дайки щелочных лампрофиров (аилькиты); 3 – щелочные сиениты (канкринитовые и нефелиновые сиениты); 4 – ийолит-уртиты, мельтейгиты; 5 – фоскориты (магнетит-апатитовые руды); 6 – карбонатиты (пироксеновые, флогопитовые, апатитовые, нефелиновые, флюоритовые, пирохлор-содержащие и другие разновидности) и силикокарбонатиты; 7 – пироксениты; 8 – фениты (флогопитовые метасоматиты); 9 – раннеархейские гранитоиды (аласкитовые граниты, биотитовые и биотит-роговообманковые граниты, гранито-gneйсы, диориты); 10 – гнейсы, кристаллические сланцы и мраморы нижнего архея (арбаастахская и холбохская свиты); 11 – тектонические нарушения: разломы установленные (а) и предполагаемые (б).

Fig 1. Location diagram and schematic geological map of the alkaline-ultrabasic carbonatite complex Arbarastakh (according to [Glagolev et al., 1974; Goroshko, Guryanov, 2004] with additions by the authors)

1 – alluvial deposits (pebbles, gravel, sands, loams); 2–7 – rocks of the Arbarastakh complex: 2 – dykes of alkaline lamprophyres (aillikites); 3 – alkaline syenites (cancrinite and nepheline syenites); 4 – ijolite-urtites, melteigites; 5 – phoscorites (magnetite-apatite ores); 6 – carbonatites (pyroxene, phlogopite, apatite, nepheline, fluorite, pyrochlore-containing and other varieties) and silicocarbonatites; 7 – pyroxenites; 8 – fenites (phlogopite metasomatites); 9 – Early Archean granitoids (alaskite granites, botite and biotite-hornblende granites, granite-gneisses, diorites); 10 – gneisses, crystalline schists and marbles of the Lower Archean (Arbarastakh and Kholbolokh formations); 11 – tectonic faults: faults identified (a) and suggested (b).

В самом центре комплекса Арбаастах локализованы конические тела магнетит-апатит-форстеритовых пород, имеющие секущие контакты с ранее описанными фазами [Глаголов и др., 1974]. Мощность тел составляет от 30–70 до 200–400 м (рис. 1). Согласно петрографической классификации, породы отнесены к фоскоритам. Современные минералогические и петрографические особенности карбонати-

тов и фоскоритов комплекса Арбаастах описаны в работах [Kruk et al., 2021; Prokopyev et al., 2021].

Методы исследования

Образцы, использованные для минералогических и геохронологических исследований, были отобраны в ходе полевых работ на массиве Арбаастах в

2019 г. Петрографическое изучение пород щелочного комплекса Арбарастих проводилось на микроскопе Olympus BX51 с фотокамерой. Исследования текстурно-структурных характеристик и минералогического состава пород проводилось на сканирующем электронном микроскопе TESCAN MIRA 3 LMU JSM-6510LV с энергосберегающей приставкой для микрозондового анализа X-Max Oxford Instruments.

Минеральный состав определяли с помощью электронного микрозонда JEOL JXA-8100 (режим WDS, 20 кВ, 15 нА, диаметр пучка 1–2 мкм). Общее время анализа F (с использованием кристалла LDE) составило 40 с (для фона – 20 с, для пика F – 20 с). Предел обнаружения F составил 477 ppm (0,04 мас. %). Для анализа минералов мы использовали ток пучка 10 нА и ускоряющее напряжение 15 кВ; для оксидов Fe – Ti – 20 нА и 15 кВ; для монацита – 40 нА и 20 кВ, а для апатита – 10 нА и 20 кВ. Время анализа пиков составляло 16 с для основных элементов и 30–60 с для второстепенных элементов. Для калибровки в качестве стандартов использовались как природные минералы, так и синтетические минеральные фазы, при этом каждый элемент и пределы обнаружения (в ppm) были следующие: SiO₂ (Si, 158), рутил (Ti, 120), LiNbO₃ (Nb, 142), Sr силикатное стекло (Sr, 442), альбит (Na, 176), ортоклаз (K, 182), Al₂O₃ (Al, 128), F-апатит (Ca, 115; P, 387; F, 477), Mn-гранат (Mn, 129), гематит (Fe, 148), CePO₄ (Ce, 236), LaPO₄ (La, 272), BaSO₄ (S, 178), NdPO₄ (Nd, 362), Cl-апатит (Cl, 74) и PrPO₄ (Pr, 401).

Определение возраста ⁴⁰Ar/³⁹Ar методом датирования проводилось по мономинеральным фракциям, отбор которых осуществлялся вручную под бинокулярной лупой из фракции 0,3–0,1 мм измельченного образца. Облучение проб было проведено в кадмированном канале научного реактора ВВР-К типа в Научно-исследовательском институте ядерной физики (г. Томск). Градиент нейтронного потока за период облучения не превышал 0,5 % в размере образца. В качестве монитора использовался стандартный K/Ar образец мусковит МСА-11 (ОКО № 129–88), подготовленный Всесоюзным научно-исследовательским институтом минерального сырья Министерства геологии СССР (ВИМС) в 1988 г. Для его калибровки в качестве ⁴⁰Ar/³⁹Ar монитора использовались международные стандартные образцы мусковит Bern 4m и биотит LP-6 [Baksi, Archibald, Farrar, 1996]. По результатам калибровки в качестве возраста мусковита МСА-11 было принято среднее, которое составило $311,0 \pm 1,5$ млн лет [Травин, 2016]. Значение полной постоянной распада 40 K, в соответствии с [Steiger, Jager, 1977], принималось равным $5,543 \times 10^{-10}$ год⁻¹.

Холостой опыт по определению ⁴⁰Ar (10 мин при 1 200 °C) не превышал 5×10^{-10} нсм³. Очистку арго-

на производили с помощью Ti- и ZrAl-SAES-геттеров. Дополнительная очистка осуществлялась с помощью кварцевого аппендикса, погруженного в жидкий азот. Изотопный состав аргона измерялся на масс-спектрометре Noble gas 5400 фирмы Micromass (Англия). Для коррекции на изотопы ³⁶Ar, ³⁷Ar, ⁴⁰Ar, полученные при облучении Ca, K, использованы следующие коэффициенты: $(^{39}\text{Ar}/^{37}\text{Ar})_{\text{Ca}} = 0,000891 \pm 0,000005$, $(^{36}\text{Ar}/^{37}\text{Ar})_{\text{Ca}} = 0,000446 \pm 0,000006$, $(^{40}\text{Ar}/^{39}\text{Ar})_{\text{K}} = 0,089 \pm 0,001$. Особое внимание уделялось контролю фактора изотопной дискриминации с помощью измерения порции очищенного атмосферного аргона. Нагревание образца происходило в кварцевом реакторе, помещенным в резистивную печь. Датирование производилось методом ступенчатого прогрева. Контроль температуры осуществлялся посредством хромель-алюмелевой термопары. Точность регулировки температуры составляла $\pm 1^{\circ}\text{C}$.

Исследования проведены в ЦКП многоэлементных и изотопных исследований СО РАН (ИГМ СО РАН, г. Новосибирск).

Датирование цирконов U-Pb методом проводилось на SHRIMP II в Центре изотопных исследований Всероссийского научно-исследовательского геологического института им. А.П. Карпинского (ВСЕГЕИ, г. Санкт-Петербург). Кристаллы циркона и титанита были закреплены в эпоксидной смоле вместе с зернами стандартов (TEMORA, 91500). Точки микроанализа были выбраны с помощью оптических, BSE и катодолюминесцентных изображений, которые показали внутреннюю структуру и зональность кристаллов циркона.

Отношения U-Pb были измерены с использованием метода, рекомендованного в работе Williams [1998]. Интенсивность первичного пучка молекулярного кислорода составляла 4 нА, а образовавшийся кратер имел диаметр 25 мкм и глубину до 5 мкм. Данные обрабатывались с помощью программы SQUID [Ludwig, 2000]. Отношения U-Pb были нормализованы до значения 0,0668 (TEMORA), что соответствует значению 416,75 млн лет [Black, Kamo, Allen, 2003]. Индивидуальные анализы находятся в пределах ошибки 1σ, а рассчитанные конкордантные возрасты – в пределах ошибки 2σ. Диаграммы конкордии были построены с помощью программного обеспечения Isoplot/Ex [Ludwig, 1999].

Петрография и минералогия щелочных пород

Петрографическое и минералогическое изучение образцов щелочных пород массива показало, что в основной фазе массива присутствуют щелочные пироксениты – якупирангиты (рис. 2, а).

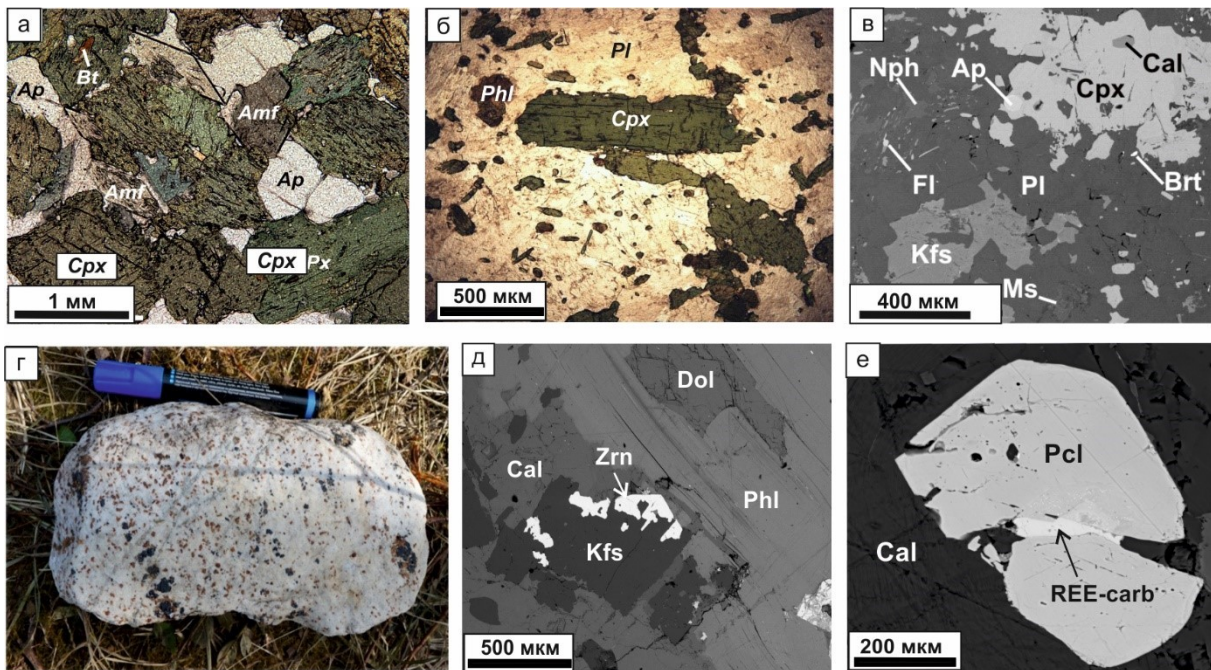


Рис. 2. Петрографические и минералогические особенности исследуемых пород щелочного комплекса Арбарастиах

a – петрографическое фото щелочного пироксенита с массивной текстурой; b – петрографическое фото образца щелочного сиенита; c – BSE-картина минерального парагенезиса нефелинового сиенита; d – образец карбонатита с вкрапленными зернами бадделейита (коричневые) и флогопита (темно-зеленого); e, f – BSE-картины минеральных ассоциаций в карбонатите. Абревиатура минералов: Bt – биотит, Amf – амфибол, Ap – апатит, Cpx – клинопироксен, Nph – нефелин, Scp – скаполит, Cal – кальцит, Ttn – титанит, Phl – флогопит, Pl – плагиоклаз, Fl – флюорит, Kfs – калишпат, Ms – мусковит, Zrn – циркон, Dol – доломит, Pcl – пирохлор, REE-carb – редкоземельный карбонат

Fig. 2. Petrographic and mineralogical features of the studied rocks of the Arbarastakh alkaline complex

a – petrographic photo of alkaline pyroxenite with massive texture; b – petrographic photo of a sample of alkaline syenite; c – BSE image of the mineral paragenesis of nepheline syenite; d – sample of carbonatite with disseminated grains of baddeleyite (brown) and phlogopite (dark green); e, f – BSE images of mineral associations in carbonatite. Mineral abbreviations: Bt – biotite, Amf – amphibole, Ap – apatite, Cpx – clinopyroxene, Nph – nepheline, Scp – scapolite, Cal – calcite, Ttn - titanite, Phl - phlogopite, Pl – plagioclase, Fl – fluorite, Kfs – potassium feldspar , Ms – muscovite, Zrn – zircon, Dol – dolomite, Pcl – pyrochlore, REE-carb – rare earth carbonate

Пироксениты имеют неравномернозернистую, местами порфировую структуру, размеры зерен варьируют от 0,5–1 мм до 1–2 см.

Текстура породы массивная, встречаются шлировые обособлениями кристаллов флогопита. По петрохимическому составу содержание SiO_2 составляет 30–40 мас. %, количество $\text{Na}_2\text{O} + \text{K}_2\text{O} = 3–10$ мас. %, что позволяет отнести породу к семейству ультраосновный фойдолитов. Главными пордообразующими минералами в породе являются клинопироксен (70–80 %), амфибол (5–10 %), биотит (5–10 %), апатит (3–5 %) и нефелин (1–5 %). Второстепенные минералы представлены кальцитом, баритом, баритоцелестином и скаполитом; акцессорными (менее 1 %) минералами являются циркон и титанит. Клинопироксен по составу является промежуточным между эгирином и диопсидом ($\text{Di}_{40-45}\text{Aeg}_{50-40}\text{Hed}_{5-20}$), замещается поздними биотитом, амфиболов и кальцитом. Амфибол по составу относится к группе щелочных амфиболов – рихтериту. Слюдя в якупиран-

гитах представлена тетраферрифлогопитом. Кристаллы флогопита чаще всего зональные, что обусловлено вариациями в составе FeO , MgO и TiO_2 . Апатит по составу относится к группе фторапатита: содержание F – до 4,16 мас. %, SrO – до 1,32 мас. % и LREE_2O_3 – до 3,25 мас. %. Нефелин образуют редкие кристаллы неправильной формы, замещается скаполитом. Титанит образует удлиненные кристаллы, циркон – призматические кристаллы, размеры зерен редко достигают 100 мкм.

Фельдшпатоидные (щелочные) сиениты являются одной из поздних силикатных фаз массива (рис. 2, б, с). Структура породы среднезернистая, текстура – массивная. Содержание кремнезема составляет 57–60 мас. %, а сумма щелочей равна 11,5–12 мас. %. Пордообразующие минералы щелочных сиенитов представлены полевыми шпатами (40–60 %), нефелином (10–15 %) и клинопироксеном (10–20 %). Второстепенные минералы – биотит, фторапатит, лейцит, барит, стронцианит, мусковит, скаполит,

банальсит; акцессорные – пирохлор, титанит и ильменит. Калиевый полевой шпат образует пойкилитовые вrostки в альбите, в своем составе содержит примеси BaO – 3–7,12 мас. % и FeO_t – до 0,36 мас. %. Нефелин содержит CaO – до 4,66 мас. % и SrO – до 1,5 мас. %. В некоторых образцах в виде вростков встречается бариевый полевой шпат – банальсит с содержанием BaO до 40,12 мас. %. Пироксен по составу соответствует эгирин-диопсиду Di_{40–50}Aeg_{30–40}Hed_{10–20}. Апатит относится к группе фторапатита и содержит в своем составе SrO и LREE₂O₃ до 1,21 и 1,5–2 мас. % соответственно. Слюдя по составу принадлежит к группе флогопита с содержанием TiO₂ до 2,5 мас. %. Скаполит замещает фельдшпатоидные минералы. Мусковит, барит и стронцианит в породе редки и образовались, вероятно, в ходе поздних гидротермально-метасоматических процессов. Титанит и ильменит образуют тесные срастания – каймы титанита вокруг ксеноморфных кристаллов ильменита. Титанит содержит примесь FeO_t до 2,2 мас. %, а в составе ильменита отмечается примесь MnO до 2 мас. %. Пирохлор в сиенитах имеет размеры до 150 мкм и по содержанию оксидов титана (до 15 мас. %) и урана (до 20 мас. %) может быть отнесен к группе уранпирохлора.

Карбонатиты представляют собой среднезернистые породы с массивной текстурой (см. рис. 2, d–f). На территории комплекса присутствует большое количество разновидностей карбонатитов: пироксеновые, флогопитовые, апатитовые, нефелиновые, флюоритовые, пирохлорсодержащие и др. Исследуемые образцы карбонатитов и силикокарбонатита являются типичными разновидностями карбонатитовой серии комплекса Арбарастих. Образцы представляют собой кальциокарбонаты и силикокарбонаты (SiO₂ от 20 до 27 мас. %); содержание CaO уменьшается пропорционально увеличению степени гидротермального изменения пород. Содержание щелочей (Na₂O + K₂O) низкое для всех разновидностей – для кальциокарбонатитов до 2 мас. %, для силикокарбонатитов – до 4,8 мас. %. Основными минералами карбонатитов являются кальцит и доломит (50–90 % породы), с варьирующими по количеству клинопироксеном, флогопитом, апатитом, амфиболом и титанитом. Второстепенные минералы представлены анкилитом-(Се), бастнезитом-(Се), предположительно бурбанкитом, а также баритом и стронцианитом. Акцессорными в породе являются титаномагнетит, циркон, цирконолит, пирохлор и бадделеит. Также в массиве встречаются разновидности карбонатитов с полевыми шпатами и нефелином. Фельдшпатоиды здесь образуют идиоморфные кристаллы в карбонатном матриксе.

Кальцит в карбонатитах образует призматические кристаллы размером от 1 до 5 мм и содержит мик-

ронные вкрапления стронцианита и анкилита-(Се) (рис. 2, e, f). В химическом составе кальцита отмечаются примеси MgO до 1,31 мас. %, SrO до 1,53 мас. %. Клинопироксен по составу относится к эгирин-диопсиду (Di_{50–60}Aeg_{30–40}Hed_{0–20}) и встречается преимущественно в силикокарбонатитах, образуя призматические кристаллы. Щелочной амфибол (рихтерит) развивается по клинопироксену. Фторапатит (F= 4–5 мас. %) в карбонатитах обогащен легкими лантаноидами (LREE₂O₃ до 2,56 мас. %), причем их содержание увеличивается от центра к краю зерна, что свидетельствует о выносе редких земель из апатита вследствие поздних гидротермальных процессов [Прокоруев et al., 2017]. Фторапатит также содержит примесь SrO до 1,53 мас. %. Слюдя представлена тетраферрифлогопитом. Слюдя образует зональные кристаллы, что обусловлено различными содержаниями BaO (1,47–4,61 мас. %), FeO_t (1,71–1,96 мас. %), MgO (22,41–25,12 мас. %) и Al₂O₃ (13,89–16,14 мас. %).

Такие минералы, как барит, анкилит-(Се), бастнезит-(Се) и бурбанкит, встречаются в породах в виде микропроявилков и микровкрапленников в карбонатах либо по периферии кристаллов апатита, нефелина и магнетита. Титаномагнетит (TiO₂ до 0,52 мас. %) в породе встречается редко и содержит включения ильменита. Минералы группы пирохлора являются главным концентратором ниobia в карбонатитах, образуют октаэдрические светло-коричневые, коричневые до черных кристаллы размером 0,2–1 мм. Пирохлор кристаллизуется в виде идиоморфных зональных октаэдров, врастающих в кристаллы силикатов. Часто можно заметить приуроченность акцессорного пирохлора к скоплениям апатита (рис. 2). В химическом составе пирохлора содержания UO₂ варьируют от 0 до 12,39 мас. %, ThO₂ от 0 до 5,06 мас. % и Ta₂O₅ от 3 до 12 мас. %. Часто отмечаются содержания BaO до 10,22 мас. %, SrO до 3 мас. %, а FeO до 2,5 мас. %. Бадделеит встречается в карбонатитах довольно редко и образует мельчайшие одиночные кристаллы. В химическом составе отмечается примесь HfO₂ до 1,8 мас. %.

Результаты датирования

Ar-Ar исследования. Образец флогопита щелочного пироксенита (якутирангита) (обр. 2-1/19) демонстрирует возрастной спектр, состоящий из 12 ступеней (рис. 3, a, табл. 1). Девять средневысокотемпературных ступеней образуют возрастное плато, характеризующееся средневзвешенным возрастом в $632,5 \pm 6$ млн лет. Ступени возрастного плато включают более 98 % от общего количества ³⁹Ar, выделенного в ходе эксперимента.

В результате эксперимента по определению возраста $^{40}\text{Ar}/^{39}\text{Ar}$ методом был получен возрастной спектр флогопита образца карбонатита (обр. 68-1б), состоящий из 12 ступеней (рис. 3, *a*, табл. 1). Девять ступеней могут быть объединены в надежное возрастное плато со средневзвешенным возрастом 651 ± 6 млн лет, соответствующее более 99 % от выделенного ^{39}Ar .

Возрастной спектр флогопита из силикокарбоната (обр. 66-1), полученный методом ступенчатого прогрева, состоит из восьми ступеней (рис. 3, *c*, табл. 1). Возраста семи ступеней совпадают в интервале ошибок 1σ и могут быть объединены в возрастное плато. В рамках возрастного плато выделено 99 % ^{39}Ar от общего количества, полученного в ходе эксперимента. Средневзвешенный возраст плато составляет $642,6 \pm 6,6$ млн лет.

Возрастной спектр флогопита карбонатита (обр. 50-2) образует возрастной спектр, состоящий из 10 ступеней (рис. 3, *d*, табл. 1). Восемь ступеней согласуются между собой в пределах погрешности 1σ и дают средневзвешенный возраст $657,8 \pm 6,5$ млн лет. Количество газа, выделенное в рамках этих ступеней, составляет 90 % от общего количества ^{39}Ar .

Для монофракции флогопита из щелочного сиенита (обр. 56-4) получен возрастной спектр, включающий 11 ступеней (рис. 3, *e*, табл. 1). Восемь высокотемпературных ступеней могут быть объединены в возрастное плато, со средневзвешенным возрастом $645,9 \pm 6,4$ млн лет. Общее количество ^{39}Ar для включенных в плато ступеней достигает 85 % от общего количества ^{39}Ar , выделенного в ходе измерения образца.

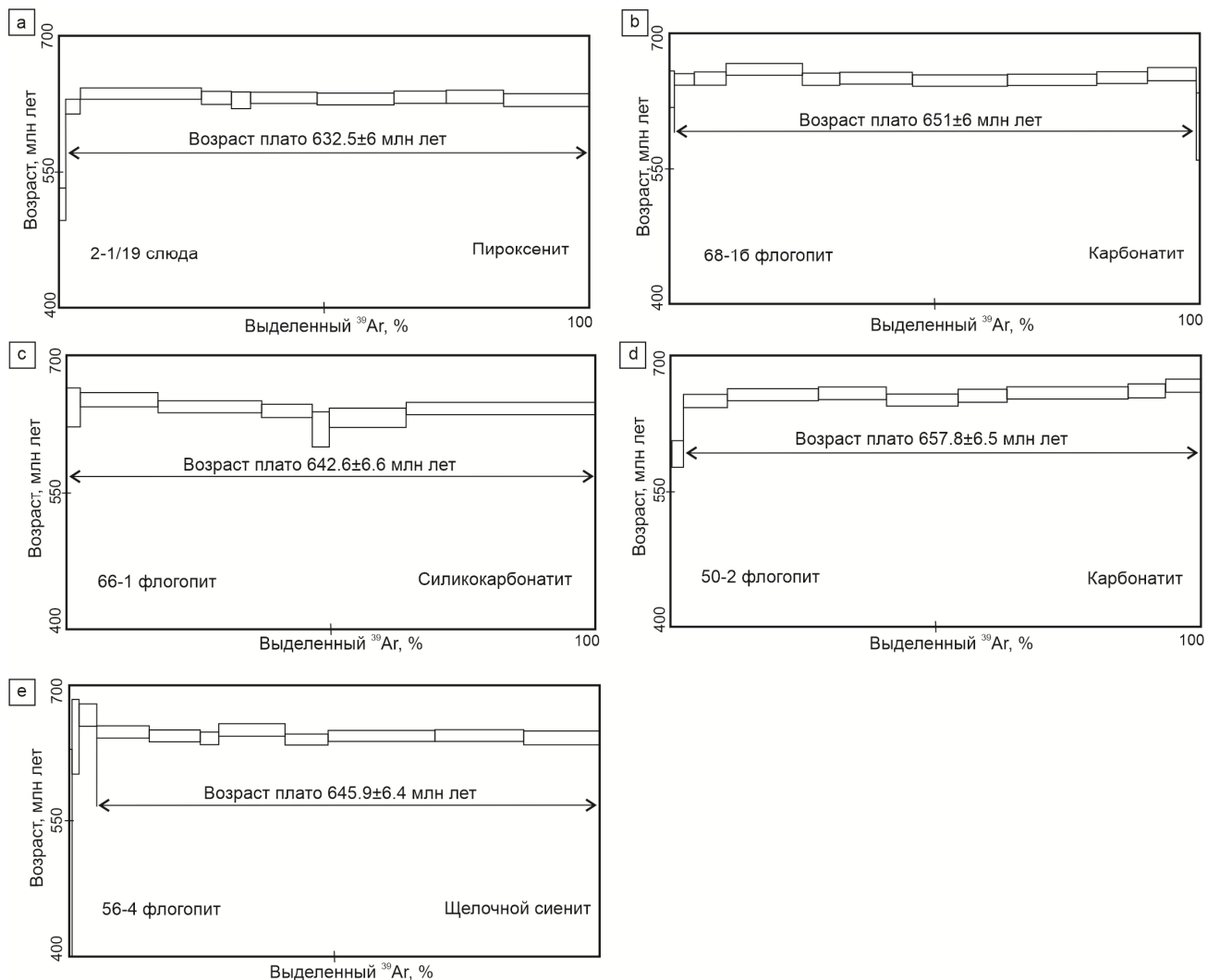


Рис. 3. Результаты Ar-Ar датирования щелочных пород комплекса Арбарастах: возрастные спектры слюд
a – пироксенита (обр. 2-1/19); b – карбонатита (обр. 68-1б); c – силикокарбонатита (обр. 66-1); d – карбонатита (обр. 50-2); e – щелочного сиенита (обр. 56-4)

Fig. 3. Results of Ar-Ar dating of alkaline rocks of the Arbarastakh complex: age spectra of micas
a – pyroxenite (sample 2-1/19); b – carbonatite (sample 68-1b); c – silicocarbonatite (sample 66-1); d – carbonatite (sample 50-2); e – alkaline syenite (sample 56-4)

Результаты Ar-Ar датирования пород
Result of Ar-Ar dating of rocks

Таблица 1

Table 1

| T, °C | $^{40}\text{Ar}/^{39}\text{Ar}$ | ± | $^{38}\text{Ar}/^{39}\text{Ar}$ | ± | $^{37}\text{Ar}/^{39}\text{Ar}$ | ± | $^{36}\text{Ar}/^{39}\text{Ar}$ | ± | Выделен- ный ^{39}Ar , % | Возраст, млн лет | ± |
|---------------------------------------|---------------------------------|------|---------------------------------|--------|---------------------------------|--------|---------------------------------|--------|--------------------------------------|---------------------|-------|
| 2-1/19 флогопит / якупирянгит | | | | | | | | | | | |
| 500 | 352,2 | 80,2 | 0,3 | 0,2 | 2,7 | 0,8 | 1,0 | 0,3 | 0,1 | 413,4 | 430,5 |
| 630 | 175,9 | 4,7 | 0,04 | 0,03 | 0,8 | 0,1 | 0,43 | 0,03 | 0,4 | 347,0 | 52,5 |
| 750 | 116,3 | 1,1 | 0,027 | 0,005 | 1,74 | 0,06 | 0,138 | 0,010 | 1,5 | 514,4 | 18,1 |
| 870 | 106,7 | 0,4 | 0,014 | 0,004 | 0,19 | 0,01 | 0,042 | 0,003 | 4,3 | 623,3 | 8,3 |
| 970 | 98,9 | 0,1 | 0,014 | 0,000 | 0,004 | 0,002 | 0,0068 | 0,0006 | 27,1 | 637,7 | 6,3 |
| 1 025 | 102,6 | 0,2 | 0,014 | 0,001 | 0,01 | 0,01 | 0,022 | 0,002 | 32,7 | 632,7 | 7,2 |
| 1 075 | 103,5 | 0,4 | 0,020 | 0,003 | 0,013 | 0,009 | 0,027 | 0,004 | 36,4 | 630,3 | 9,2 |
| 1 150 | 99,1 | 0,1 | 0,0158 | 0,0005 | 0,016 | 0,001 | 0,010 | 0,001 | 48,9 | 633,2 | 6,2 |
| 1 200 | 98,3 | 0,1 | 0,017 | 0,001 | 0,026 | 0,003 | 0,008 | 0,001 | 63,3 | 632,0 | 6,6 |
| 1 230 | 99,2 | 0,2 | 0,011 | 0,001 | 0,005 | 0,005 | 0,010 | 0,002 | 73,2 | 633,9 | 7,0 |
| 1 250 | 99,2 | 0,2 | 0,011 | 0,001 | 0,013 | 0,003 | 0,010 | 0,002 | 83,9 | 634,5 | 7,1 |
| 1 280 | 98,5 | 0,2 | 0,011 | 0,002 | 0,026 | 0,005 | 0,009 | 0,002 | 100,0 | 630,7 | 7,2 |
| 68-16 флогопит/карбонатит | | | | | | | | | | | |
| | | | | | | | | | J=0,004398±0,000051 | | |
| 500 | 210,8 | 18,0 | 0,07 | 0,07 | 1,6 | 0,6 | 0,56 | 0,10 | 0,1 | 333,7 | 168,5 |
| 650 | 116,7 | 1,3 | 0,022 | 0,008 | 1,21 | 0,03 | 0,07 | 0,01 | 1,1 | 638,3 | 20,4 |
| 750 | 103,6 | 0,2 | 0,007 | 0,002 | 0,15 | 0,01 | 0,018 | 0,002 | 4,8 | 648,8 | 6,9 |
| 825 | 102,1 | 0,3 | 0,013 | 0,001 | 0,048 | 0,009 | 0,012 | 0,002 | 10,8 | 650,0 | 7,3 |
| 900 | 102,2 | 0,1 | 0,0121 | 0,0006 | 0,038 | 0,002 | 0,006 | 0,001 | 25,1 | 659,9 | 6,5 |
| 950 | 101,6 | 0,2 | 0,013 | 0,001 | 0,008 | 0,006 | 0,010 | 0,001 | 32,2 | 649,4 | 6,7 |
| 1 020 | 100,4 | 0,1 | 0,0127 | 0,0005 | 0,003 | 0,003 | 0,006 | 0,001 | 45,9 | 650,5 | 6,5 |
| 1 100 | 99,5 | 0,1 | 0,0139 | 0,0005 | 0,0004 | 0,0008 | 0,004 | 0,001 | 63,8 | 647,8 | 6,3 |
| 1 150 | 99,7 | 0,1 | 0,0117 | 0,0003 | 0,0040 | 0,0009 | 0,0044 | 0,0006 | 80,6 | 648,6 | 6,3 |
| 1 200 | 101,0 | 0,1 | 0,0135 | 0,0007 | 0,0062 | 0,0007 | 0,007 | 0,001 | 90,2 | 651,1 | 6,5 |
| 1 240 | 101,4 | 0,2 | 0,0177 | 0,0006 | 0,030 | 0,006 | 0,006 | 0,002 | 99,3 | 655,1 | 7,1 |
| 1 280 | 124,7 | 2,6 | 0,031 | 0,010 | 0,20 | 0,09 | 0,12 | 0,02 | 100,0 | 597,1 | 37,0 |
| 66-1 флогопит/силикокарбонатит | | | | | | | | | | | |
| | | | | | | | | | J=0,004509±0,000053 | | |
| 500 | 348,1 | 61,2 | 0,3 | 0,2 | 1,9 | 0,9 | 1,3 | 0,3 | 0,1 | 0,0 | 545,1 |
| 800 | 134,6 | 1,5 | 0,037 | 0,005 | 20,7 | 0,5 | 0,13 | 0,01 | 2,6 | 643,7 | 21,2 |
| 900 | 101,6 | 0,3 | 0,015 | 0,001 | 4,0 | 0,1 | 0,017 | 0,002 | 17,3 | 651,9 | 7,6 |
| 950 | 97,3 | 0,1 | 0,014 | 0,001 | 0,04 | 0,01 | 0,007 | 0,001 | 36,9 | 644,4 | 6,6 |
| 1 000 | 97,2 | 0,2 | 0,016 | 0,002 | 0,03 | 0,02 | 0,009 | 0,002 | 46,5 | 639,8 | 7,2 |
| 1 100 | 99,3 | 1,0 | 0,012 | 0,003 | 0,05 | 0,07 | 0,03 | 0,01 | 49,7 | 619,8 | 19,1 |
| 1 175 | 95,1 | 0,6 | 0,014 | 0,001 | 0,03 | 0,02 | 0,007 | 0,005 | 64,3 | 632,3 | 10,5 |
| 1 250 | 95,8 | 0,1 | 0,0130 | 0,0005 | 0,007 | 0,005 | 0,0029 | 0,0009 | 100,0 | 642,7 | 6,6 |
| 50-2 флогопит/карбонатит | | | | | | | | | | | |
| | | | | | | | | | J=0,004473±0,000052 | | |
| 550 | 188,2 | 8,5 | 0,04 | 0,02 | 0,4 | 0,3 | 0,46 | 0,05 | 0,3 | 372,2 | 88,6 |
| 850 | 106,5 | 0,8 | 0,007 | 0,006 | 0,24 | 0,03 | 0,066 | 0,007 | 2,5 | 592,5 | 14,4 |
| 920 | 101,5 | 0,2 | 0,018 | 0,002 | 0,018 | 0,004 | 0,015 | 0,002 | 10,8 | 650,5 | 7,3 |
| 980 | 100,2 | 0,1 | 0,012 | 0,001 | 0,005 | 0,004 | 0,006 | 0,001 | 28,0 | 657,5 | 6,6 |
| 1 030 | 100,4 | 0,1 | 0,014 | 0,001 | 0,004 | 0,003 | 0,006 | 0,001 | 40,8 | 659,1 | 6,8 |
| 1 080 | 99,5 | 0,1 | 0,0129 | 0,0004 | 0,006 | 0,002 | 0,008 | 0,001 | 54,3 | 651,5 | 6,6 |
| 1 125 | 101,2 | 0,2 | 0,0166 | 0,0007 | 0,000 | 0,007 | 0,011 | 0,002 | 63,5 | 656,3 | 7,2 |
| 1 175 | 100,3 | 0,2 | 0,0140 | 0,0004 | 0,008 | 0,000 | 0,005 | 0,001 | 86,3 | 659,6 | 6,7 |
| 1 215 | 103,1 | 0,3 | 0,013 | 0,001 | 0,001 | 0,003 | 0,014 | 0,002 | 93,4 | 661,7 | 7,7 |
| 1 260 | 104,2 | 0,2 | 0,014 | 0,001 | 0,017 | 0,003 | 0,014 | 0,002 | 100,0 | 667,7 | 7,3 |

| T, °C | $^{40}\text{Ar}/^{39}\text{Ar}$ | ± | $^{38}\text{Ar}/^{39}\text{Ar}$ | ± | $^{37}\text{Ar}/^{39}\text{Ar}$ | ± | $^{36}\text{Ar}/^{39}\text{Ar}$ | ± | Выделен- ный ^{39}Ar , % | Возраст, млн лет | ± |
|-------------------------------|---------------------------------|------|---------------------------------|--------|---------------------------------|-------|---------------------------------|--------|--------------------------------------|---------------------|---------------------|
| 56-4 флогопит/щелочной сиенит | | | | | | | | | | | J=0,004457±0,000052 |
| 500 | 393,4 | 31,6 | 0,16 | 0,07 | 1,1 | 0,5 | 0,8 | 0,1 | 0,2 | 1006,7 | 125,8 |
| 630 | 283,9 | 27,7 | 0,09 | 0,04 | 0,2 | 0,1 | 0,7 | 0,1 | 0,6 | 444,9 | 185,2 |
| 760 | 164,8 | 3,9 | 0,05 | 0,02 | 0,19 | 0,05 | 0,23 | 0,02 | 1,9 | 644,4 | 41,7 |
| 860 | 118,1 | 0,7 | 0,023 | 0,003 | 0,01 | 0,01 | 0,059 | 0,006 | 5,2 | 669,0 | 12,4 |
| 960 | 104,8 | 0,2 | 0,020 | 0,002 | 0,003 | 0,005 | 0,025 | 0,002 | 15,1 | 650,3 | 7,0 |
| 1 000 | 104,5 | 0,2 | 0,0145 | 0,0004 | 0,000 | 0,003 | 0,027 | 0,002 | 24,7 | 645,6 | 7,1 |
| 1 040 | 108,3 | 0,3 | 0,019 | 0,004 | 0,010 | 0,009 | 0,041 | 0,002 | 28,2 | 642,8 | 7,5 |
| 1 100 | 102,1 | 0,2 | 0,0171 | 0,0006 | 0,000 | 0,002 | 0,015 | 0,001 | 40,7 | 652,6 | 6,9 |
| 1 150 | 103,2 | 0,1 | 0,010 | 0,001 | 0,001 | 0,003 | 0,0250 | 0,0007 | 48,8 | 641,5 | 6,4 |
| 1 200 | 99,4 | 0,1 | 0,0132 | 0,0003 | 0,003 | 0,001 | 0,0099 | 0,0008 | 69,0 | 645,5 | 6,5 |
| 1 280 | 99,4 | 0,3 | 0,0162 | 0,0008 | 0,005 | 0,005 | 0,011 | 0,003 | 100,0 | 643,2 | 8,4 |

Примечание. Ошибки указаны с интервалом $\pm 2\sigma$.

Note. Errors are indicated with an interval of $\pm 2\sigma$.

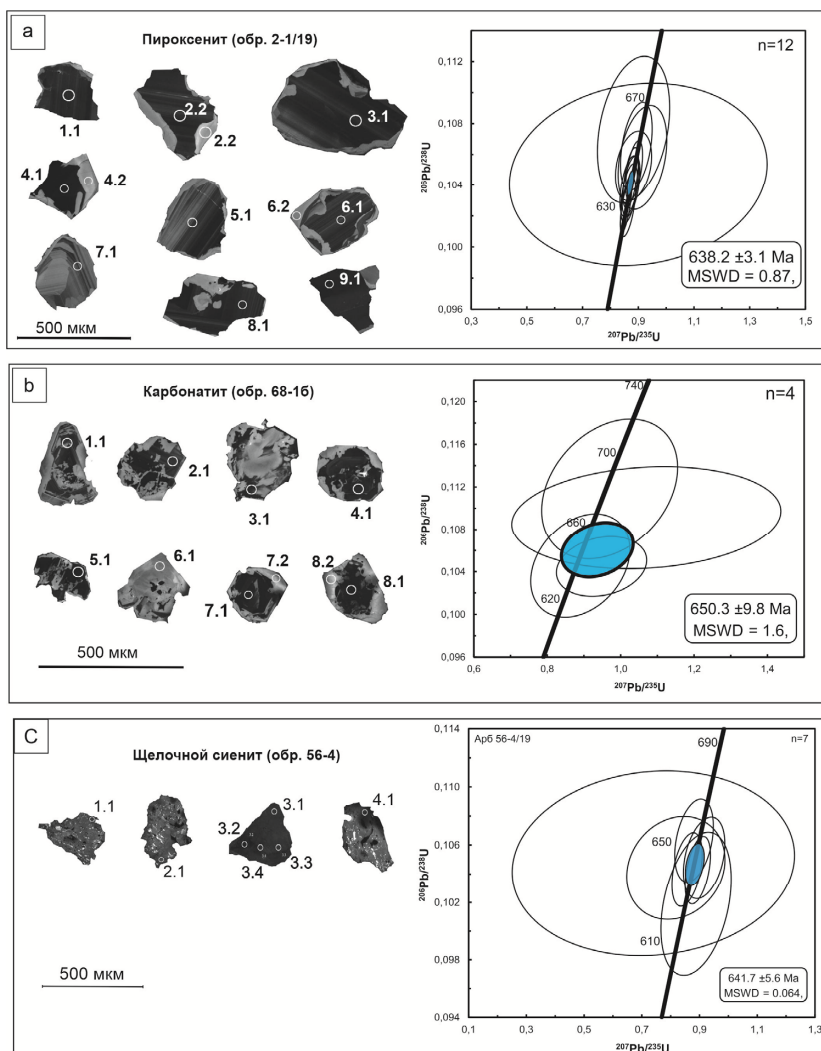


Рис. 4. Результаты U-Pb (SHRIMP II) датирования щелочных пород комплекса Арбарастих

Катодолюминесцентные фотографии исследуемых цирконов и диаграммы с конкордией для образцов: *a* – пироксенита (обр. 2-1/19); *b* – карбонатита (обр. 68-16); *c* – щелочного сиенита (обр. 56-4)

Fig. 4. Results of U-Pb (SHRIMP II) dating of alkaline rocks of the Arbarastakh complex

Cathodoluminescent photographs of the studied zircons and diagrams with concordia for samples: *a* – pyroxenite (sample 2-1/19); *b* – carbonatite (sample 68-1b); *c* – alkalic syenite (sample 56-4)

Результаты U-Pb (SHRIMP II) датирования пироксена (обр. 2-1/19)

Таблица 2

Table 2

Results of U-Pb (SHRIMP II) dating of pyroxenite (sample 2-1/19)

| N ₂ | % ²⁰⁶ Pb _c | r/T ²⁰⁶ Pb _c | r/T U ²³² Th/ ²³⁸ U | r/T Th ²³² Th/ ²³⁸ U | (1) ²⁰⁶ Pb/ ²³⁸ U Возраст | (1) ²⁰⁷ Pb/ ²⁰⁶ Pb возраст | % несогл. возраст | (1) ²³⁸ U/ ²⁰⁶ Pb [*] | ±% | (1) ²⁰⁷ Pb [*] / ²⁰⁶ Pb [*] | ±% | (1) ²⁰⁷ Pb [*] / ²³⁵ U | ±% | (1) ²⁰⁶ Pb [*] / ²³⁸ U | ±% | Ошибкa корр. | | | |
|----------------|-------------------------------------|---------------------------------------|--|---|---|--|-------------------------|---|------|--|-------|--|---------|--|--------|-----------------|---------|------|-----|
| 1.1 | 0,00 | 147 | 245 | 1,72 | 13,1 | 634,6 | 4,6 | 632 | ±26 | 0 | 9,666 | 0,76 | 0,06080 | 1,2 | 0,867 | 1,4 | 0,10346 | 0,76 | 0,5 |
| 2.1 | 0,00 | 152 | 210 | 1,43 | 13,7 | 643,2 | 4,7 | 646 | ±25 | 0 | 9,53 | 0,76 | 0,06119 | 1,2 | 0,885 | 1,4 | 0,10493 | 0,76 | 0,5 |
| 2.2 | 0,00 | 7 | 4 | 0,56 | 0,603 | 659,0 | 11,0 | 585 | ±120 | -11 | 9,29 | 1,8 | 0,05950 | 5,7 | 0,883 | 6 | 0,1076 | 1,8 | 0,3 |
| 3.1 | 0,00 | 117 | 136 | 1,19 | 10,5 | 637,3 | 4,7 | 639 | ±29 | 0 | 9,623 | 0,78 | 0,06100 | 1,3 | 0,874 | 1,5 | 0,10392 | 0,78 | 0,5 |
| 4.1 | 0,00 | 405 | 731 | 1,86 | 35,8 | 630,5 | 4,3 | 620 | ±16 | -2 | 9,732 | 0,72 | 0,06045 | 0,7 | 0,8565 | 1 | 0,10276 | 0,72 | 0,7 |
| 4.2 | 2,48 | 11 | 96 | 9,13 | 1,01 | 642,0 | 14,0 | 682 | ±440 | 6 | 9,55 | 2,3 | 0,06200 | 21,0 | 0,9 | 21 | 0,1047 | 2,3 | 0,1 |
| 5.1 | 0,00 | 118 | 134 | 1,17 | 10,6 | 637,4 | 4,8 | 624 | ±29 | -2 | 9,623 | 0,78 | 0,06057 | 1,4 | 0,868 | 1,6 | 0,10392 | 0,78 | 0,5 |
| 6.1 | 0,29 | 91 | 97 | 1,10 | 8,26 | 645,0 | 5,4 | 634 | ±63 | -2 | 9,502 | 0,88 | 0,06080 | 2,9 | 0,883 | 3 | 0,10524 | 0,88 | 0,3 |
| 6.2 | 0,00 | 15 | 6 | 0,40 | 1,4 | 648,2 | 8,0 | 700 | ±78 | 8 | 9,45 | 1,3 | 0,06270 | 3,6 | 0,915 | 3,9 | 0,1058 | 1,3 | 0,3 |
| 7.1 | 0,00 | 35 | 32 | 0,94 | 3,17 | 652,2 | 6,6 | 633 | ±51 | -3 | 9,393 | 1,1 | 0,06080 | 2,4 | 0,893 | 2,6 | 0,1065 | 1,1 | 0,4 |
| 8.1 | 0,00 | 185 | 256 | 1,42 | 16,6 | 640,6 | 4,7 | 625 | ±23 | -2 | 9,571 | 0,77 | 0,06060 | 1,1 | 0,873 | 1,3 | 0,10448 | 0,77 | 0,6 |
| 9.1 | 0,00 | 208 | 460 | 2,28 | 18,3 | 629,4 | 4,6 | 639 | ±22 | 2 | 9,75 | 0,76 | 0,06100 | 1,0 | 0,863 | 1,3 | 0,10257 | 0,76 | 0,6 |

Таблица 3

Результаты U-Pb (SHRIMP II) датирования карбоната (обр. 68-1b)

Table 3

Results of U-Pb (SHRIMP II) dating of carbonate (sample 68-1b)

| N ₂ | % ²⁰⁶ Pb _c | r/T U | r/T Th | ²³² Th/ ²³⁸ U | ²⁰⁶ Pb/ ²³⁸ U | (1) ²⁰⁶ Pb/ ²³⁸ U возраст | ²⁰⁶ Pb/ ²³⁸ U возраст | (2) ²⁰⁶ Pb/ ²³⁸ U возраст | ²⁰⁶ Pb/ ²³⁸ U возраст | (3) ²⁰⁶ Pb/ ²³⁸ U возраст | ²⁰⁷ Pb/ ²⁰⁶ Pb возраст | (1) ²⁰⁷ Pb/ ²³² Th возраст | ²⁰⁸ Pb/ ²³² Th возраст | (1) ²⁰⁶ Pb/ ²³⁸ U возраст | ²³⁸ U/ ²⁰⁶ Pb ±% | | | |
|----------------|-------------------------------------|-------|--------|-------------------------------------|-------------------------------------|---|--|---|--|---|---|--|---|---|---|------|--------|------|
| 8.1 | 8,32 | 750 | 6554 | 9 | 29,1 | 261,7 | 7,6 | 547,3 | ±5,3 | 113 | ±39 | -695 | ±890 | 222,7 | 6,6 | -366 | 22,12 | 2,6 |
| 5.1 | 0,56 | 58 | 4150 | 74 | 4,42 | 546,9 | 5,5 | 546,9 | ±26 | 582 | ±10 | 571 | ±110 | 578,4 | 7 | 4 | 11,22 | 0,98 |
| 2.1 | 9,42 | 1 | 644 | 452 | 0,132 | 585,0 | 44,0 | 510 | ±26 | 464 | ±26 | 2522 | ±450 | 466,0 | 25 | 331 | 9,54 | 4,6 |
| 7.2 | 0,44 | 64 | 815 | 13 | 5,4 | 601,4 | 5,6 | 597,8 | ±5,5 | 489 | ±20 | 775 | ±81 | 548,9 | 7,9 | 29 | 10,182 | 0,93 |
| 8.2 | 38,94 | 1 | 9 | 13 | 0,102 | 628,0 | 240,0 | 476 | ±44 | 446 | ±180 | 3260 | ±1400 | 543,0 | 130 | 420 | 5,96 | 5,2 |
| 7.1 | 0,62 | 42 | 1286 | 31 | 3,81 | 640,7 | 6,7 | 637,1 | ±6,4 | 603 | ±11 | 800 | ±110 | 611,3 | 8,5 | 25 | 9,51 | 1 |
| 6.1 | 0,00 | 6 | 50 | 9 | 0,541 | 641,0 | 11,0 | 641 | ±12 | 801 | ±190 | 665 | ±130 | 668,0 | 29 | 4 | 9,56 | 1,9 |
| 1.1 | 1,85 | 14 | 731 | 55 | 1,31 | 668,0 | 12,0 | 660,2 | ±8,9 | 645 | ±14 | 968 | ±280 | 648,0 | 13 | 45 | 8,99 | 1,3 |
| 3.1 | 0,00 | 4 | 1288 | 359 | 0,356 | 683,0 | 15,0 | 683 | ±16 | 632 | ±21 | 705 | ±160 | 633,0 | 20 | 3 | 8,94 | 2,4 |
| 4.1 | 0,92 | 9 | 1165 | 140 | 1,48 | 1163,0 | 18,0 | 1170 | ±18 | 312 | ±22 | 1026 | ±150 | 357,0 | 20 | -12 | 5,011 | 1,6 |

Таблица 3 (продолжение)

| $^{207}\text{Pb}/^{206}\text{Pb}$ | $\pm\%$ | $^{238}\text{U}/^{206}\text{Pb}^*$ | $\pm\%$ | $^{207}\text{Pb}^*/^{206}\text{Pb}^*$ | $\pm\%$ | $^{207}\text{Pb}^*/^{235}\text{U}$ | $\pm\%$ | $^{206}\text{Pb}^*/^{238}\text{U}$ | $\pm\%$ | Ошибка корр. |
|-----------------------------------|---------|------------------------------------|---------|---------------------------------------|---------|------------------------------------|---------|------------------------------------|---------|--------------|
| 0,1032 | 1,2 | 24,13 | 3 | 0,035 | 32 | 0,201 | 32 | 0,0414 | 3 | 0,1 |
| 0,0636 | 2,1 | 11,29 | 1 | 0,0591 | 5,3 | 0,722 | 5,4 | 0,0886 | 1 | 0,2 |
| 0,233 | 5,8 | 10,53 | 7,9 | 0,166 | 27 | 2,18 | 28 | 0,0949 | 7,9 | 0,3 |
| 0,0685 | 1,8 | 10,226 | 0,97 | 0,065 | 3,9 | 0,877 | 4 | 0,0978 | 0,97 | 0,2 |
| 0,502 | 5,7 | 9,8 | 41 | 0,26 | 87 | 3,7 | 96 | 0,1020 | 41 | 0,4 |
| 0,0708 | 2,1 | 9,57 | 1,1 | 0,0658 | 5,2 | 0,948 | 5,3 | 0,1045 | 1,1 | 0,2 |
| 0,0617 | 5,9 | 9,56 | 1,9 | 0,0617 | 5,9 | 0,89 | 6,2 | 0,1046 | 1,9 | 0,3 |
| 0,0864 | 3,3 | 9,16 | 1,8 | 0,0714 | 14 | 1,07 | 14 | 0,1091 | 1,8 | 0,1 |
| 0,0629 | 7,4 | 8,94 | 2,4 | 0,0629 | 7,4 | 0,97 | 7,8 | 0,1118 | 2,4 | 0,3 |
| 0,0812 | 2,4 | 5,057 | 1,7 | 0,0734 | 7,6 | 2 | 7,8 | 0,1977 | 1,7 | 0,2 |

Таблица 4

| M_{Ω} | $^{206}\text{Pb}_{\text{e}}$ % | $r/r\text{ U}$ | $r/r\text{ Th}$ | $^{232}\text{Th}/^{238}\text{U}$ | $^{206}\text{Pb}^*/^{238}\text{U}$ | Γ/Γ $^{206}\text{Pb}^*$ | $^{206}\text{Pb}/^{238}\text{U}$ возраст | $^{207}\text{Pb}^*/^{206}\text{Pb}$ возраст | Некорр. воздр. | $^{238}\text{U}/^{206}\text{Pb}^*$ % | $^{207}\text{Pb}^*/^{206}\text{Pb}^*$ % | $^{207}\text{Pb}^*/^{235}\text{U}$ % | $^{206}\text{Pb}^*/^{238}\text{U}$ % | Ошибка корр. | | |
|--------------|-----------------------------------|----------------|-----------------|----------------------------------|------------------------------------|--|---|--|-------------------|---|--|---|---|--------------|--------|-----|
| 1,1 | 2,71 | 7 | 107 | 15,78 | 0,647 | 642,0 | 15,0 | 264 | ± 620 | -59 | 9,55 | 2,5 | 0,052 | 27 | 0,1047 | 2,5 |
| 2,1 | 0,00 | 8 | 44 | 6,06 | 0,66 | 625,0 | 12,0 | 715 | ± 110 | 14 | 9,82 | 2,0 | 0,0632 | 5,3 | 0,1019 | 2,0 |
| 3,1 | 0,90 | 21 | 37 | 1,79 | 1,93 | 640,1 | 8,5 | 485 | ± 180 | -24 | 9,58 | 1,4 | 0,0568 | 8,4 | 0,1044 | 1,4 |
| 3,2 | 0,00 | 64 | 98 | 1,57 | 5,74 | 639,3 | 5,6 | 682 | ± 39 | 7 | 9,593 | 0,9 | 0,0622 | 1,8 | 0,1043 | 0,9 |
| 3,3 | 0,00 | 23 | 36 | 1,58 | 2,11 | 644,3 | 6,9 | 715 | ± 64 | 11 | 9,51 | 1,1 | 0,0632 | 3 | 0,1051 | 1,1 |
| 3,4 | 0,00 | 27 | 29 | 1,14 | 2,43 | 651,4 | 6,7 | 606 | ± 62 | -7 | 9,41 | 1,1 | 0,0601 | 2,9 | 0,1063 | 1,1 |
| 4,1 | 0,11 | 30 | 78 | 2,69 | 2,7 | 639,4 | 6,2 | 588 | ± 49 | -8 | 9,59 | 1,0 | 0,0596 | 2,3 | 0,1043 | 1,0 |

Результаты U-Pb (SHRIMP II) датирования щелочного сиенита (обр. 56-4)

Table 4

U-Pb (SHRIMP II) исследования. Для определения U-Pb возраста щелочных пород массива Арбарастих были датированы цирконы из образцов пироксенита (обр. 2-1/19), карбонатита (обр. 68-1б) и щелочного сиенита (обр. 56-4) (см. рис. 4). Цирконы в основном представлены обломками кристаллов размером 200–500 мкм; в катодолюминесцентных изображениях прослеживается магматическая зональность (рис. 4). U-Pb изотопные данные и характер распределения тория, урана и величины Th/U приведены в табл. 2–4. Согласно полученным результатам, время кристаллизации образца пироксенита составляет $638,2 \pm 3,1$ млн лет ($n = 12$); возраст карбонатита показал интервал $650,3 \pm 9,8$ млн лет ($n = 4$), возраст щелочного сиенита составляет $641,7 \pm 5,6$ млн лет ($n = 7$) (рис. 4).

Обсуждение результатов

Полученные данные Ar-Ar и U-Pb датирования по основным fazам щелочно-ультраосновного карбонатитового комплекса Арбарастих определяют интервал кристаллизации пород в период ~ 657 – 636 млн лет с молодой границей в $626,5$ млн лет. При этом Ar-Ar и U-Pb значения для каждого из типов пород находятся в пределах ошибки каждого из методов. Полученные результаты коррелируют с предшествующими U-Pb геохронологическими данными $630,5 \pm 5,7$ млн лет (U-Pb, циркон, ВСЕГЕИ, 2015) и 656 ± 5 и 653 ± 9 млн лет (U-Pb, циркон, бадделеит [Vladykin, Alymova, 2020]), которые также показывают широкий диапазон времени кристаллизации щелочных пород комплекса Арбарастих. Такой интервал значений возраста, вероятно, отражает достаточно длительную историю становления пород комплекса и характеризует многоимпульсное внедрение пород (рис. 5).

Тем не менее определенный возрастной интервал образования пород комплекса Арбарастих находится в пределах значений для других щелочных карбонатитовых комплексов, которые структурно тяготеют к крайним частям Сибирского кратона и характеризуются близкими типами редкометальных месторождений. Эти комплексы-месторождения прослеживаются на расстояние более 3 000 км от Енисейского кряжа через юго-западный выступ кратона (Белая Зима, Тагна, Жидой) до Алданского щита (Ингили, Арбарастих) [Ярмолюк и др., 2005; Кузьмин, Ярмолюк, 2014].

Так, например, ийолиты Жидойского комплекса и карбонатиты Ингилийского комплекса дают значения 632 ± 2 и 654 ± 7 млн лет соответственно [Ярмолюк и др., 2005], возрастной интервал в 645 – 643 млн лет определен для пород комплекса Белая Зима [Ярмолюк и др., 2005; Doroshkevich et al., 2016; Sahnikova et al., 2019; Хромова, Дорошевич, Избрдин, 2020]. Значения, по-

лученные для щелочных пород и карбонатитов Енисейского кряжа, также лежат во временном диапазоне 725–610 млн лет [Врублевский и др., 2003, 2011; Верниковская и др., 2007; Сазонов и др., 2007; Ножкин и др., 2008]. Образование щелочно-ультраосновных пород чапинского комплекса произошло в интервале 670–650 млн лет [Верниковская и др., 2007; Ножкин и др., 2008], а возраст карбонатитов Веселого и Пограничного проявлений (Северное Забайкалье) имеет значения 645–600 млн лет [Рипп, Дорошевич, Посохов, 2009].

Возрастной интервал формирования вышеперечисленных близковозрастных щелочных карбонатитовых комплексов согласуется с неопротерозойской эпохой крупномасштабного проявления внутриплитного магматизма на Сибирском кратоне, геодинамическая интерпретация которого неоднозначна.

С одной стороны, проявление магматизма западной окраины Сибирского кратона, представленного кислыми и основными породами и сопровождающегося интенсивным дайкообразованием, исследователи связывают с неопротерозойскими процессами растяжения вдоль западной окраины континента в обстановке активной континентальной окраины [Верниковская и др., 2007, 2013; Верниковский и др., 2008]. С другой стороны, бимодальный магматизм и гранитообразование Енисейского кряжа и Олокитской зоны Байкальской складчатой области (700–727 млн лет) [Рыцк и др., 2002; Ножкин и др., 2008; Лиханов, Ревердатто, 2015], так же как дайковые пояса Саяно-Байкальского региона (780–740 млн лет) [Sklyarov et al., 2003; Гладкочуб и др., 2007] и платиноносные ультрамафит-мафитовые расслоенные массивы (Довыренский, Барбитайский и другие) (около 720 млн лет) [Ярмолюк и др., 2005; Кузьмин, Ярмолюк, 2014], рассматриваются в качестве индикаторов распада.

Стоит отметить, что временной диапазон распада исследователями оценивается неоднозначно. Начало раскола Родинии относят к рубежу 1,1–1,0 млрд лет, а окончательный раскол оценивают периодом 750–600 млн лет [Meert, Poweel, 2001; Метелкин, Верниковский, Казанский, 2007; Li, Zhong, 2009; Добрецов, 2011; Кузьмин, Ярмолюк, 2014; Гордиенко, 2019 и другие]. В любом случае, исследователи [Ярмолюк и др., 2005; Ножкин и др., 2008; Врублевский и др., 2011; Кузьмин, Ярмолюк, 2014] полагают, что суперплюм, обусловивший распад суперконтинента Родиния, в составе которой находилась Сибирь, зародился в слое D" и определил формирование вдоль рифтовых зон, проявленных при расколе суперконтинента, ультраосновных щелочных карбонатитовых комплексов, ответственных за редкометальное (Nb, Ta, редкоземельные элементы) оруденение, а также ультрамафит-мафитовые расслоенные интрузии с Cu-Ni-Pt оруденением.

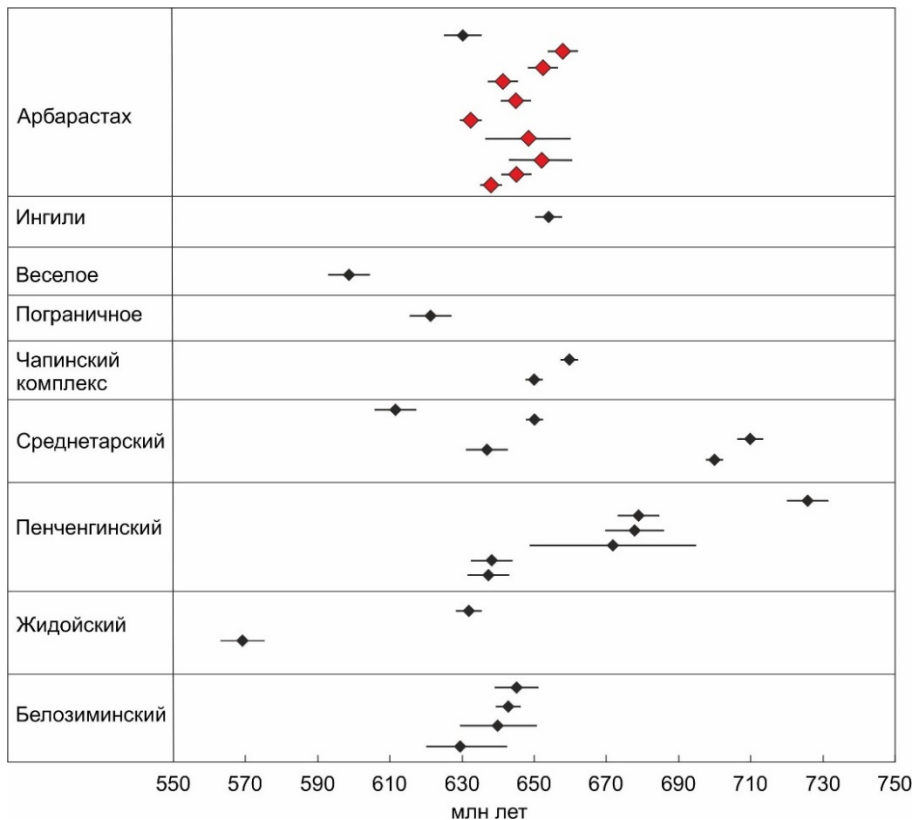


Рис. 5. Результаты датирования щелочных пород комплекса Арбаастах (красным показаны новые данные) в сравнении с геохронологическими данными по близковозрастным щелочным комплексам краевых частей Сибирского кратона

См. описание в тексте. На диаграмме данные Ярмолюк и соавт. [2005], Кузьмин, Ярмолюк [2014], Doroshkevich et al. [2016], Salnikova et al. [2019], Хромова и др. [2020], Врублевский и соавт. [2003, 2011]; Сазонов и соавт. [2007]; Верниковская и соавт. [2007]; Ножкин и соавт. [2008]; Рипп и соавт. [2009]

Fig. 5. Results of dating of alkaline rocks of the Arbarastakh complex (new data are shown in red) in comparison with geochronological data on close-aged alkaline complexes of the marginal parts of the Siberian Craton

See description in the text. Data from Yarmolyuk [2005] on the diagram; Kuzmin, Yarmolyuk [2014], Doroshkevich et al. [2016], Salnikova et al. [2019], Khromova et al. [2020], Vrublevsky et al. [2003, 2011], Sazonov et al. [2007], Vernikovskaya et al. [2007], Nozhkin et al. [2008], Ripp et al. [2009]

Последующие исследования щелочных пород комплекса Арбаастах геохимическими и изотопно-геохимическими методами позволяют нам соотнести процессы становления массива с геодинамической обстановкой, проявленной в данном регионе на Сибирском кратоне в период 640–655 млн лет. Учитывая ниобиевую специфику карбонатитов Арбаастаха, наиболее вероятно предполагать рифтогенную обстановку становления щелочного комплекса, связанную с расколом суперконтинента Родиния.

Заключение

Геохронологические исследования щелочных пород щелочно-ультраосновного карбонатитового комплекса Арбаастах отражают достаточно дли-

тельную историю становления комплекса и характеризуют многостадийное внедрение пород. Результаты Ar-Ag датирования показали время кристаллизации основной фазы массива – пироксенитов (якупирангитов) – $632,5 \pm 6$ млн лет; щелочные сиениты имеют возраст $645,9 \pm 6,4$ млн лет. Время внедрения силикокарбонатитов составляет $642,6 \pm 6,6$ млн лет; образование карбонатитов происходило в диапазоне 651 ± 6 и $657,8 \pm 6,5$ млн лет. Данные U-Pb датирования пироксенитов показали возраст $638,2 \pm 3,1$ млн лет, время внедрения карбонатитов – $650,3 \pm 9,8$ млн лет, возраст кристаллизации щелочного сиенита составляет $641,7 \pm 5,6$ млн лет.

Таким образом, определенный возрастной интервал образования пород комплекса Арбаастах составляет ~ 657 – 636 млн лет, что находится в преде-

лах значений для других щелочных карбонатитовых комплексов, которые структурно тяготеют к крайним частям Сибирского кратона, и характеризуются близкими типами редкометальных месторождений.

Список источников

- Врублевский В.В., Покровский Б.Г., Журавлев Д.З., Аношин Г.Н.** Вещественный состав и возраст пенченгинского линейного комплекса карбонатитов, Енисейский кряж // Петрология. 2003. Т. 11, № 2. С. 145–163.
- Врублевский В.В., Ревердатто В.В., Изох А.Э., Гертнер И.Ф., Юдин Д.С., Тишин П.А.** Неопротерозойский карбонатитовый магматизм Енисейского кряжа, центральная Сибирь: $^{40}\text{Ar}/^{39}\text{Ar}$ – геохронология пенченгинского комплекса // Доклады Академии наук. 2011. Т. 437, № 4. С. 514–519.
- Верниковская А.Е., Верниковский В.А., Сальникова Е.Б., Котов А.Б., Ковач В.П., Травин А.В., Вингейт М.Т.Д.** Лейкогранитный магматизм А-типа в эволюции континентальной коры западного обрамления Сибирского кратона // Геология и геофизика. 2007. Т. 48, № 1. С. 5–21.
- Верниковская А.Е., Даценко В.М., Верниковский В.А., Матушкин Н.Ю., Лаевский Ю.М., Романова И.В., Травин А.В., Воронин К.В., Лепехина Е.Н.** Эволюция магматизма и карбонатит-гранитная ассоциация в неопротерозойской активной континентальной окраине сибирского кратона: термохронологические реконструкции // Доклады Академии наук. 2013. Т. 448, № 5. С. 555–562.
- Верниковский В.А., Верниковская А.Е., Сальникова Е.Б. и др.** Позднерифейский щелочная магматизм западного обрамления Сибирского кратона: результат континентального рифтогенеза или аккреционных событий? // Доклады Академии наук. 2008. Т. 419, № 1. С. 90–94.
- Глаголев А.А., Корчагин А.М., Харченков А.Г.** Шелочно-ультраосновные массивы Арбарастиах и Инагли. М. : Наука, 1974. 174 с.
- Гладкочуб Д.П., Донская Т.В., Мазукабзов А.М., Станевич А.М., Скляров Е.В., Пономарчук В.А.** Комплексы-индикаторы процессов растяжения на юге Сибирского кратона в докембрии // Геология и геофизика. 2007. Т. 48, № 1. С. 22–41.
- Гордиенко И.В.** Связь субдукционного и плюмового магматизма на активных границах литосферных плит в зоне взаимодействия Сибирского континента и палеоазиатского океана в неопротерозое и палеозое // Геодинамика и тектонофизика. 2019. Т. 10, № 2. С. 405–457.
- Горошко М.В., Гурьянов В.А.** Уран-редкометальное оруденение в массивах ультраосновных щелочных пород юго – востока Сибирской платформы // Тихоокеанская геология. 2004. Т. 23, № 2. С. 76–91.
- Добрецов Н.Л.** Раннепалеозойская тектоника и геодинамика Центральной Азии: роль раннепалеозойских мантийных плюмов // Геология и геофизика. 2011. № 12. С. 1957–1973.
- Зленко Н.Д.** Позднесинийские интрузии центрального типа восточной окраины Алданского щита // Труды ВАГТ. 1961. Вып. 7. С. 66–73.
- Кузьмин М.И., Ярмолюк В.В.** Мантийные плюмы Северо-Восточной Азии и их роль в формировании эндогенных месторождений // Геология и геофизика. 2014. № 2. С. 153–184.
- Лиханов И.И., Ревердатто В.В.** Неопротерозойские комплексы – индикаторы континентального рифтогенеза как свидетельство процессов распада Родинии на западной окраине Сибирского кратона // Геохимия. 2015. № 8. С. 675–694.
- Метелкин Д.В., Верниковский В.А., Казанский А.Ю.** Неопротерозойский этап эволюции Родинии в свете новых палеомагнитных данных по западной окраине Сибирского кратона // Геология и геофизика. 2007. Т. 48, № 1. С. 42–59.
- Ножкин А.Д., Туркина О.М., Баянова Т.Б., Бережная Н.Г., Ларионов А.Н., Постников А.А., Травин А.В., Эрнст Р.Е.** Неопротерозойский рифтогенетический и внутрипойнтный магматизм Енисейского кряжа как индикатор процессов распада Родинии // Геология и геофизика. 2008. Т. 49, № 7. С. 666–688.
- Парфенов Л.М., Кузьмин М.И.** Тектоника, геодинамика и металлогенез территории Республики Саха (Якутия). М.: Наука, 2001. 570 с.
- Рипп Г.С., Дорошкевич А.Г., Посохов В.Ф.** Возраст карбонатитового магматизма Забайкалья // Петрология. 2009. Т. 17, № 1. С. 79–96.
- Рыцк Е.В., Шалаев В.С., Ризванова Н.Г., Крымжий Р.Ш., Манеев А.Ф., Рилс Г.В.** Олокитская зона Байкальской складчатой области: новые изотопно-геохронологические и петрогохимические данные // Геотектоника. 2002. № 1. С. 29–41.
- Сазонов А.М., Врублевский В.В., Гертнер И.Ф., Федорова А.В., Гавриленко В.В., Звягина Е.А., Леонтьев С.И.** Заанггарский щелочный интрузив, Енисейский кряж: Rb-Sr Sm-Nd изотопный возраст пород и источники фельдшпатоидных магм в позднем докембрии // Доклады Академии наук. 2007. Т. 413, № 6. С. 798–802.
- Травин А.В.** Термохронология субдукционно-коллизионных, коллизионных событий Центральной Азии : автореф. дис. ... д-ра геол.-минерал. наук. Новосибирск, 2016.
- Хромова Е.А., Дорошкевич А.Г., Изброрин И.А.** Геохимическая и Sr–Nd–Pb характеристики щелочных пород и карбонатитов Белозиминского массива (Восточный Саян) // Геосферные исследования. 2020. № 1. С. 33–55. DOI: 10.17223/25421379/14/3
- Ярмолюк В.В., Коваленко В.И., Сальникова Е.Б., Никифоров А.В., Котов А.Б., Владыкин Н.В.** Позднерифейский рифтогенез и распад Лавразии: данные геохронологических исследований щелочно-ультраосновных комплексов южного обрамления Сибирской платформы // Доклады Академии наук. 2005. Т. 404, № 3. С. 400–406.
- Baksi A.K., Archibald D.A., Farrar E.** Intercalibration of $^{40}\text{Ar}/^{39}\text{Ar}$ dating standards // Chemical Geology. 1996. V. 129. P. 307–324.
- Black L.P., Kamo S.L., Allen C.M.** TEMORA 1: a new zircon standard for Phanerozoic U-Pb geochronology // Chem. Geol. 2003. V. 200. P. 155–170. doi: 10.1016/S0009-2541(03)00165-7
- Dalton J.A., Wood B.J.** The compositions of primary carbonate melts and their evolution through wallrock reaction in the mantle // Earth and Planetary Science Letters 1993. V. 119. P. 511–525.

- Doroshkevich A.G., Veksler I.V., Izbrodin I.A., Ripp G.S., Khromova E.A., Posokhov V.F., Travin A.V., Vladikin N.V.** Stable isotope composition of minerals in the Belya Zima plutonic complex, Russia: Implications for the sources of the parental magma and metasomatizing fluids // Journal of Asian Earth Sciences. 2016. V. 26. P. 81–96.
- Ernst R.E., Bell K.** Large igneous provinces (LIPs) and carbonatites // Mineralogy and Petrology. 2010. V. 98. P. 55–76. doi: 10.1007/s00710-009-0074-1
- Ernst R.E., Davies D.R., Jowitt S.M., Campbell I.H.** When do mantle plumes destroy diamonds? // Earth and Planetary Science Letters. 2018. V. 502. P. 244–252. doi: 10.1016/j.epsl.2018.08.058
- Guzmics T., Zajacz Z.** Trace element partitioning between immiscible silicate and carbonate melts, based on natural melt inclusions from Kerimasi volcano, Tanzania. Goldschmidt Conference Abstracts. 2013. P. 1238.
- Hamilton D.L., Kjasgaard B.A.** The immiscibility of silicate and carbonate liquids // The South African Journal of Geology. 1993. V. 96 (3). P. 139–142.
- Kogarko L.N., Kononova V.A., Orlova M.P., Woolley A.R.** Alkaline Rocks and Carbonatites of the World. Part Two: Former USSR, London : Chapman & Hall, 1995.
- Kruk M.N., Doroshkevich A.G., Prokopyev I.R., Izbrodin I.A.** Mineralogy of the Arbarastakh Complex (Republic of Sakha, Yakutia, Russia) // Minerals. 2021. V. 11. P. 556. doi: 10.3390/min11060556
- Le Bas M.J.** Nephelinite and Carbonatite // Alkaline Igneous Rocks, Geological Society. Special Publications. London, 1987. V. 30. P. 53–83.
- Li Z.X., Zhong S.** Supercontinent-superplume coupling, true polar wander and plume mobility: plate dominance in whole-mantle tectonics // Physics of the Earth and Planetary Interiors. 2009. V. 176. P. 143–156.
- Ludwig, K.R.** User's manual for Isoplot/Ex, version 2.10, a geochronological toolkit for Microsoft Excel // Berkeley Geochronology Center Special Publication. Berkeley, 1999.
- Ludwig, K.R.** SQUID 1.00, A User's Manual // Berkeley Geochronology Center Special Publications. Berkeley, 2000.
- Meert J.G., Powell C. McA.** Assembly and break-up of Rodinia: introduction to the special volume // Precambrian Research, Special Issue. 2001. V. 110. P. 1–8.
- Mitchell R.H.** Mineralogical and experimental constraints on the origin of niobium mineralization in carbonatites // Geol. Assoc. Can., Short Course Notes. 2005. No. 17. P. 201–216.
- Mitchell R.H.** Sylvite and fluorite microcrystals, and fluorite–nyerereite intergrowths from natrocarbonatite, Oldoinyo Lengai, Tanzania // Mineralogical Magazine. 2006. V. 70. P. 103–114.
- Prokopyev I.R., Doroshkevich A.G., Redina A.A., Obukhov A.V.** Magnetite-apatite-dolomitic rocks of Ust-Chulman (Aldan shield, Russia): Seligdar – type carbonatites? // Mineralogy and Petrology. 2017. V. 112. P. 257–266. doi: 10.1007/s00710-017-0534-y
- Prokopyev I.R., Doroshkevich A.G., Zhumadilova D.V., Starikova A.V.** Petrogenesis of Zr-Nb (REE) carbonatites and phosphorites from the Arbarastakh complex (Aldan Shield, Russia); mineralogy and inclusion data // Ore Geology Reviews. 2021. V. 131 (2). P. 104042. doi: 10.1016/j.oregeorev.2021.104042
- Rock N.M.S.** The nature and origin of ultramafic lamprophyres: alnöites and allied rocks // Journal of Petrology. 1986. V. 27. P. 155–196. doi: 10.1093/petrology/27.1.155
- Salnikova E.B., Chakhmouradian A.R., Stifeeva M.V., Reguir E.P., Kotov A.B., Gritsenko Y.D., Nikiforov A.V.** Calcic garnets as a geochronological and petrogenetic tool applicable to a wide variety of rocks // Lithos. 2019. V. 338. P. 141–154.
- Sklarov E.V., Gladkochub D.P., Mazukabzov A.M., Menshagin Yu.V., Watanabe T., Pisarevsky S.A.** Neoproterozoic mafic dike swarms of the Sharyzhalgai metamorphic massif (southern Siberian craton) // Precambrian Research. 2003. V. 22. P. 359–377
- Steiger R.H., Jager E.** Subcommission on geochronology; Convention on the use of decay constants in geo- and cosmochronology // Earth and Planetary Science Letters. 1977. V. 36. P. 359–362.
- Tappe S., Foley S.F., Jenner G.A., Kjarsgaard B.A.** Integrating Ultramafic Lamprophyres into the IUGS Classification of Igneous Rocks: Rationale and Implications // Journal of Petrology. 2005. V. 46, No. 9. P. 1893–1900.
- Tappe S., Foley S.F., Jenner G.A. et al.** Genesis of ultramafic lamprophyres and carbonatites at Aillik Bay, Labrador: a consequence of incipient lithospheric thinning beneath the North Atlantic Craton // Journal of Petrology. 2006. V. 47. P. 1261–1315. doi: 10.1093/petrology/egl008
- Vladikin N.V., Alymova N.** The Zhidoy massif of ultrabasic – alkaline rocks and carbonatites: its geochemical features, sources and ore potential // EGU General Assembly. 2020. doi: 10.5194/egusphere-egu2020-8776
- Williams J.S.** U-Th-Pb geochronology by ion microprobe. Application of microanalytical techniques to understanding mineralizing processes // Reviews in Economic Geology. 1998. V. 7. P. 1–35. doi: 10.5382/Rev.07.01

References

- Vrublevskui V.V., Pokrovskui B.G., Juravlev D.Z., Anoshin G.N. *Veshestvennui sostav I vozrast penchenginskogo lineinogo kompleksa karbonatitov, Eniseiskui kruaj* [Composition and age of the Penchenga Linear carbonatite complex, Yenisei Range] // Petrologia [Petrology]. 2003. V. 11, No. 2. pp. 145–163. In Russian
- Vrublevskui V.V., Revirdatto V.V., Izoh A.E., Gertner I.F., Udin D.C., Tishin P.A. *Neoproterozoiskui karbonatitovui magmatism Eniseiskogo kryaja, central'naya Sibir': $^{40}\text{Ar}/^{39}\text{Ar}$ – geochronologia penchenginskogo kompleksa* [Neoproterozoic carbonatite magmatism of the Yenisei ridge, central Siberia: $^{40}\text{Ar}/^{39}\text{Ar}$ geochronology of the Penchenga rock complex] // Doklady Akademii nauk [Doklady of Earth Sciences]. 2011. V. 437, No. 4. pp. 514–519. In Russian
- Vernikovskaya A.E., Vernikovskui V.A., Sal'nikova E.B., Kotov A.B., Kovach V.P., Travin A.V., Vingeit M.T.D. *Leikogranitovui magmatism A-tipa v evolucii kontinental'noi koru zapadnogo obramleniya Sibirskego kratona* [Leucogranite A-type magmatism in the evolution of the continental crust on the Western framing of the Siberian Craton] // Geologiya i geofizika [Russian Geology and Geophysics]. 2007. V. 48, No. 1. pp. 5–21. In Russian
- Vernikovskaya A.E., Dacenko V.M., Vernikovskui V.A., Matushkin N.U., Laevskui U.M., Romanova I.V., Travin A.V., Voronin K.V., Lepikhina E.N. *Evoluchia magmatizma i karbonatit – granitnaya associacia v neoproterozoiskoi aktuvnoi kontinental'noi okraine*

sibirskogo kratona : termohronologicheskie rekonstrukcii [Magmatism evolution and carbonatite-granite association in the Neoproterozoic active continental margin of the Siberian Craton: thermochronological reconstructions] // *Doklady Akademii nauk* [Doklady of Earth Sciences]. 2013, V. 448, No. 5. pp. 555–562. In Russian

Vernikovskui V.A., Vernikovskui A.E., Sal'nikova E.B. et al. *Pozdnerifeiskui shelochnoi magmatism zapadnogo obramlenia Sibirskogo kratona: rezul'tat kontinental'nogo riftogeneza ili akkrecionnuh cobutui?* [Late Riphean alkaline magmatism in the Western Margin of the Siberian Craton: a result of continental rifting or accretionary events?] // *Doklady Akademii nauk* [Doklady of Earth Sciences]. 2008. V. 419, No. 1. pp. 90–94. In Russian

Glagolev, A.A., Korchagin, A.M. and Kharchenkov, A.G., *Shelochno-ultraosnovnue massivu Arbarastakh I Inagli* // Nauka, Moscow. 1974. 175 pp. In Russian

Gladochub D.P., Donskaya T.V., Mazukabzov A.M., Stanovich A.M., Sklyarov E.V., Ponomarchuk V.A. *Kompleksu – indikatoru processov rastyagenuia na uge Sibirskogo kratona v dokembrii* [Signature of Precambrian extension event in the Southern Siberian craton] // *Geologiya i geofizika* [Russian Geology and Geophysics]. 2007. V. 48, No. 1. pp. 22–41. In Russian

Gordienko I.V. Relationship between subduction-related and plume magmatism at the active boundaries of lithospheric plates in the interaction zone of the Siberian Continent and Paleoasian Ocean in the Neoproterozoic and Paleozoic // *Geodinamika i tektonophysika* [Geodynamics & Tectonophysics]. 2019. V. 10, No. 2. pp. 405–457. In Russian

Goroshko M.V., Gur'yanov V.A. *Uran-redkometal'noe orudeneie v massivah ultraosnovnuyh shelochnyh porod – ugo vostoka Sibirskoi platform* // Tihookenskaya geologiya. 2004. V. 23. No. 2. pp. 76–91. In Russian

Dobrev N.L. *Rannepaleozoiskaya tektonika i geodinamica Central'noi Azii: rol' rannepaleozoiskui manuinh plumb* [Early Paleozoic Tectonics and Geodynamics of Central Asia: The Role of Early Paleozoic Mantle Plumes // *Geologiya i geofizika* [Russian Geology and Geophysics]. 2011. No. 12. pp. 1957–1973. In Russian

Zlenko N.D. *Pozdnesunusuiskue itruzuu centralnogo typa vostochnoi okraunu Aldanskogo shita* // Trudu VAGT. 1961. V. 7. pp. 66–73. In Russian

Kuz'min M.I., Yarmoluk V.V. *Mantuinue pluma Severo – Vostochnoi Azii I ih rol' v formirovaniu endogenuuh mestorojdenui* [Mantle plumes of Northeastern Asia and their role in the formation of endogenous deposits] // *Geologiya i geofisika* [Russian Geology and Geophysics]. 2014. No. 2. pp. 153–184. In Russian

Lihanov I.I., Reverdatto V.V. *Neoproterozoiskue kompleksu – indikatoru kontinental'nogo riftogeneza, kak svidetel'stvo kak svidetel'stvo processov raspada Rodinii na zapadnoi okraine Sibirskogo kratona* [Evidence of Middle Neoproterozoic extensional tectonic settings along the western margin of the Siberian Craton: implications for the breakup of Rodinia] // *Geohimia* [Geochemistry International]. 2015. No. 8. pp. 675–694. In Russian

Metelkin D.V., Vernikovskui V.A., Kazanskiy A.U. *Neoproterozokui etap evolucii Rodinii v svete novuh paleomagnitnih dannuh po zapadnoi okraine Sibirskogo kratona* [The Neoproterozoic stage of Rodinia evolution based on new paleomagnetic data from the western margin of the Siberian Craton] // *Geologiya i geofisika* [Russian Geology and Geophysics]. 2007. V. 48, No. 1. pp. 42–59. In Russian

Nojkin A.D., Turkina O.M., Bayanova T.B., Berejnaya N.G., Larionov A.N., Postnikov A.A., Travin A.V., Ernst R.E. *Neoproterozoiskui riftogeniui i vnutripointnui magmatism Eniskeiskogo kryaga kak indicator processov raspada Rodinii* [Neoproterozoic rift and within-plume magmatism in the Yenisei Ridge: implications for the breakup of Rodinia] // *Geologiya i geofisika* [Russian Geology and Geophysics]. 2008. V. 49, No. 7. pp. 666–688. In Russian

Parfenov L.M., Kuzmin M.I. *Tektonika, geodinamika u metallogenija territorui respublica Saha (Yakutia)*. Moscow, Science. 2001. 570 p. In Russian

Ripp G.S., Doroshkevich A.G., Posohov V.F. *Vozrast karbonativogo magmatisma Zabaikalia* [Age of carbonatite magmatism in Transbaikalia] // *Petrologia* [Petrology]. 2009. V. 17, No. 1. pp. 79–96. In Russian

Ruzk E.V., Shalaev V.C., Rizanova N.G., Krumjui R.Sh., Maneev A.F., Rils G.V. *Olokitskaya zona Baikal'skoi skladchatoi oblasti: novue izotopno – geocronologicheskue e petrogeochemicalske dannue* [Olokot zone of the Baikal folded region: new isotope-geochronological and petrogeochemical data] // *Geotektonika* [Geotectonics]. 2002. No. 1. pp. 29–41. In Russian

Sazonov A.M., Vrublevskui V.V., Gertner I.F., Fedorova A.V., Gavrilenko V.V., Zvyagina E.A., Leont'ev C.I. *Zaangarskui shelochnoi intruziv, Eniseiskui kryaj: Rb-Sr-Sm-Nd izotopnui vozrast porod I istochiniki feldspatoidnuh magm v pozdnem dokembrii* [The Transangara alkaline pluton, Yenisei Range: Rb-Sr And Sm-Nd isotope ages and sources of feldspathoid magmas In Late Precambrian] // *Doklady Akademii nauk* [Doklady of Earth Sciences]. 2007. V. 413, No. 6. pp. 798–802. In Russian

Travin A.V. *Termochronologia subduktionno – kollizionnuh sobutui Central'noi Azii* [Thermochronology of subduction-collision, collisional events in Central Asia] // *Avtoreferat disertacii na soiskanue uchenoi stepeni doktora geologa mineralogicheskikh nauk* [Abstract of the dissertation for the degree of Doctor of Geological and Mineralogical Sciences]. Novosibirsk, 2016. In Russian

Hromova E.A., Doroshkevich A.G. Izbrodin I.A. Geochemical and Sr-Nd-Pb isotopic characteristics of alkaline rocks and carbonatite of the Belya Zima Massif (Eastern Sayan) // *Geosfernye issledovaniya – Geosphere Research*. 2020. 1. pp. 33–55. DOI: 10.17223/25421379/14/3. In Russian

Yarmoluk V.V., Kovalenko V.I., Sal'nikova E.B., Nikiforov A.V., Kotov A.B., Vladukin N.V. *Pozdnerifeiskui riftogenet I raspad Lavrazii: dannue geochronologicheskikh issledovanii chelochno – ultraosnovnuyh kompleksov ujnogo obramlenia Sibirskoi platformu* [Late Riphean rifting and breakup of Laurasia: data from geochronological studies of alkaline-ultrabasic complexes in the southern framing of the Siberian Platform] // *Doklady Akademii nauk* [Doklady of Earth Sciences]. 2005. V. 404, No. 3. pp. 400–406. In Russian.

Baksi A.K., Archibald D.A., Farrar E. Intercalibration of $^{40}\text{Ar}/^{39}\text{Ar}$ dating standards// *Chemical Geology* 1996. V. 129. pp. 307–324.

Black L.P., Kamo S.L., Allen C.M., TEMORA 1: a new zircon standard for Phanerozoic U-Pb geochronology. *Chem. Geol.* 2003. V.200. pp.155–170. [https://doi.org/10.1016/S0009-2541\(03\)00165-7](https://doi.org/10.1016/S0009-2541(03)00165-7).

Dalton J.A., Wood B.J. The compositions of primary carbonate melts and their evolution through wallrock reaction in the mantle // *Earth and Planetary Science letters*. 1993. V. 119. pp. 511–525.

Doroshkevich A.G., Veksler I.V., Izbrodin I.A., Ripp G.S., Khromova E.A., Posokhov V.F., Travin A.V., Vladyshev N.V. Stable isotope composition of minerals in the Belya Zima plutonic complex, Russia: Implications for the sources of the parental magma and metasomatizing fluids // *Journal of Asian Earth Sciences*. 2016. V. 26. pp. 81–96.

- Ernst R.E., Bell K. Large igneous provinces (LIPs) and carbonatites // *Mineralogy and Petrology*. 2010. V. 98. pp. 55–76. <https://doi.org/10.1007/s00710-009-0074-1>
- Ernst R.E., Davies D.R., Jowitt S.M., Campbell I.H. When do mantle plumes destroy diamonds? // *Earth and Planetary Science Letters*. 2018. V. 502. pp. 244–252. <https://doi.org/10.1016/j.epsl.2018.08.058>
- Guzmics, T., Zajacz, Z. Trace element partitioning between immiscible silicate and carbonate melts, based on natural melt inclusions from Kerimasi volcano, Tanzania. Goldschmidt Conference Abstracts. 2013. 1238.
- Hamilton D.L., Kjarsgaard B.A. The immiscibility of silicate and carbonate liquids // *The South African Journal of Geology*. 1993. V. 96 (3). pp. 139–142.
- Kogarko L.N., Kononova V.A., Orlova M.P., and Woolley A.R. *Alkaline Rocks and Carbonatites of the World*. Part Two: Former USSR. London: etc.: Chapman & Hall, 1995.
- Kruk M.N., Doroshkevich A.G., Prokopyev I.R., Izbrodin I.A. Mineralogy of the Arbarastakh Complex (Republic of Sakha, Yakutia, Russia) // *Minerals*. 2021. V. 11, 556. doi: 10.3390/min11060556
- Le Bas M.J. Nephelinitite and Carbonatite // *Alkaline Igneous Rocks*, Geological Society. Special Publications. London. 1987. V. 30. pp. 53–83.
- Li Z.X., Zhong S. Supercontinent–superplume coupling, true polar wander and plume mobility: plate dominance in whole–mantle tectonics // *Physics of the Earth and Planetary Interiors*. 2009. V. 176. pp. 143–156.
- Ludwig K.R. User's manual for Isoplot/Ex, version 2.10, a geochronological toolkit for microsoft excel// Berkeley Geochronology Center Special Publication, Berkeley. 1999.
- Ludwig K.R. SQUID 1.00, A User's Manual // Berkeley Geochronology Center Special Publications, Berkeley. 2000.
- Meert J.G., Powell C. McA. Assembly and break-up of Rodinia: introduction to the special volume // *Precambrian Research*, Special Issue. 2001. V.110. pp. 1–8.
- Mitchell R.H. Mineralogical and experimental constraints on the origin of niobium mineralization in carbonatites // In Rare Element Geochemistry and Mineral Deposits R.L. Linnen & I.M. Samson, eds.). *Geol. Assoc. Can., Short Course Notes*. 2005. N. 17. pp. 201–216.
- Mitchell R.H. Sylvite and fluorite microcrysts, and fluorite–nyerereite intergrowths from natrocarbonatite, Oldoinyo Lengai, Tanzania // *Mineralogical Magazine*. 2006. V. 70. pp. 103–114.
- Prokopyev I.R., Doroshkevich A.G., Redina A.A., Obukhov A.V. Magnetite-apatite-dolomitic rocks of Ust-Chulman (Aldan shield, Russia): Seligdar – type carbonatites? // *Mineralogy and Petrology*. 2017. V. 112. pp. 257–266. doi: 10.1007/s00710-017-0534-y
- Prokopyev I.R., Doroshkevich A.G., Zhumadilova D.V., Starikova A.V. Petrogenesis of Zr-Nb (REE) carbonatites and phoscorites from the Arbarastakh complex (Aldan Shield, Russia); mineralogy and inclusion data // *Ore geology Reviews*. 2021. V. 131 (2). 104042 doi: 10.1016/j.oregeorev.2021.104042
- Rock N.M.S. The nature and origin of ultramafic lamprophyres: alnöites and allied rocks // *Journal of Petrology*. 1986. V. 27. pp. 155–196. <https://doi.org/10.1093/petrology/27.1.155>
- Salnikova E.B., Chakhmouradian A.R., Stifeeva M.V., Reguir E.P., Kotov A.B., Gritsenko Y.D., Nikiforov A.V. Calcic garnets as a geochronological and petrogenetic tool applicable to a wide variety of rocks // *Lithos*. 2019. V. 338. pp. 141–154.
- Skljarov E.V., Gladkochub D.P., Mazukabzov A.M., Menshagin Yu.V., Watanabe T., Pisarevsky S.A. Neoproterozoic mafic dike swarms of the Sharyzhalgai metamorphic massif (southern Siberian craton) // *Precambrian Research*. 2003. V. 22. pp. 359–377.
- Steiger R.H., Jager E. Subcommission on geochronology; Convention on the use of decay constants in geo- and cosmochronology // *Earth and Planetary Science Letters*. 1977. V. 36. pp. 359–362.
- Tappe S., Foley S.F., Jenner G.A., Kjarsgaard B.A. Integrating Ultramafic Lamprophyres into the IUGS Classification of Igneous Rocks: Rationale and Implications // *Journal of Petrology*. 2005. V. 46. No. 9. pp. 1893–1900.
- Tappe S., Foley S.F., Jenner G.A. et al. Genesis of ultramafic lamprophyres and carbonatites at Aillik Bay, labrador: a consequence of incipient lithospheric thinning beneath the North Atlantic Craton // *Journal of Petrology*. 2006. 47. pp. 1261–1315. doi: 10.1093/petrology/egl008.
- Vladynkin N.V., Alymova N. The Zhidoy massif of ultrabasic – alkaline rocks and carbonatites: its geochemical features, sources and ore potential // EGU General Assembly. 2020. doi: 10.5194/egusphere-egu2020-8776
- Williams J.S. U-Th-Pb geochronology by ion microprobe. Application of microanalytical techniques to understanding mineralizing processes // *Reviews in Economic Geology*. 1998. V. 7. pp. 1–35. doi: 10.5382/Rev.07.01

Информация об авторах:

Прокопьев И.Р., кандидат геолого-минералогических наук, старший научный сотрудник, Институт геологии и минералогии им. В.С. Соболева СО РАН, Новосибирск, Россия; старший преподаватель, кафедра петрографии и геологии рудных месторождений, геолого-геофизический факультет, Новосибирский государственный университет, Новосибирск, Россия.
E-mail: prokopev_ilya@mail.ru

Дорошкевич А.Г., доктор геолого-минералогических наук, заведующая лабораторией, Институт геологии и минералогии им. В.С. Соболева СО РАН, Новосибирск, Россия; Геологический институт им. Н.Л. Добрецова СО РАН, Улан-Удэ, Россия.
E-mail: doroshkevich@igm.nsc.ru

Пономарчук А.В., младший научный сотрудник, Институт геологии и минералогии им. В.С. Соболева СО РАН, Новосибирск, Россия.
E-mail: aponomar@igm.nsc.ru

Крук М.Н., младший научный сотрудник, Институт геологии и минералогии им. В.С. Соболева СО РАН, Новосибирск, Россия.
E-mail: krukmm@igm.nsc.ru

Избродин И.А., кандидат геолого-минералогических наук, старший научный сотрудник, Институт геологии и минералогии им. В.С. Соболева СО РАН, Новосибирск, Россия.
E-mail: izbrodin@ginst.ru

Владыкин Н.В., доктор геолого-минералогических наук, заведующий лабораторией, Институт геохимии им. А.П. Виноградова СО РАН, Иркутск, Россия.

Авторы заявляют об отсутствии конфликта интересов.

Information about the authors:

Prokopyev I.R., Cand. Sci. (Geol.-Miner.), Senior Researcher, V.S. Sobolev Institute of Geology and Mineralogy SB RAS, Novosibirsk, Russia; Senior Lecturer, Department of Petrography and Geology of Ore Deposits, Faculty of Geology and Geophysics, Novosibirsk State University, Novosibirsk, Russia.

E-mail: prokopev_ilya@mail.ru

Doroshkevich A.G., Dr. Sci. (Geol.-Miner.), Head of the Laboratory, V.S. Sobolev Institute of Geology and Mineralogy SB RAS, Novosibirsk, Russia; Geological Institute SB RAS, Ulan-Ude, Russia.

Email: doroshkevich@igm.nsc.ru

Ponomarchuk A.V., Junior Researcher, V.S. Sobolev Institute of Geology and Mineralogy SB RAS, Novosibirsk, Russia.

E-mail: aponomar@igm.nsc.ru

Kruk M.N., Junior Researcher, V.S. Sobolev Institute of Geology and Mineralogy SB RAS, Novosibirsk, Russia.

E-mail: krukmm@igm.nsc.ru

Izbrodin I.A., Cand. Sci. (Geol.-Miner.), Senior Researcher, V.S. Sobolev Institute of Geology and Mineralogy SB RAS, Novosibirsk, Russia

E-mail: izbrodin@ginst.ru

Vladynkin N.V., Dr. Sci. (Geol.-Miner.), Head of the Laboratory, A.P. Vinogradov Institute of Geochemistry SB RAS, Irkutsk, Russia.

The authors declare no conflicts of interests.

Статья поступила в редакцию 28.06.2021; одобрена после рецензирования 15.09.2022; принята к публикации 06.11.2022

The article was submitted 28.06.2021; approved after reviewing 15.09.2022; accepted for publication 06.11.2022